

VYSOKÁ ŠKOLA STROJNÍ A TEXTILNÍ V LIBERCI

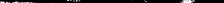
fakulta textilní

katedra hydraulických strojů

D I P L O M O V Á P R Á C E

Albín Loula

DIPLOMOVÝ ÚKOL

pro 

CHOCOLATE CHIP COOKIES (see page 10)

Protože jste splnili požadavky učebního plánu, zodává Vám vedoucí katedry ve smyslu směrnice ministerstva školství o státních závěrečných zkouškách tento diplomový účet.

Název tématu: Výše vzdaleností podél osy výšky v závislosti na délce

Pokyny pro výpracování

1. The first step in the process of socialization is birth. At birth, the child is born into a family and society. The family provides the child with its first social environment, and the society provides the child with its first social institutions.

10. What is the primary purpose of the following statement?

Averzka právo se měl směřovat MfK pro úpravu
zákoníčku zákony č. 1, 31. 7.21/62 II/2 ze dne
13. července 1962 Věstník MfK 1962, list 24 ze dne
31. 8. 1962 § 19 autorského zákona č. 145/59 Sb.

WISOKI SKOLNÍ TŘEBAV A JEDNOV
Universitátní knihovna
LIBERECKÝ STUDENTSKÝ K. O.

V 4/1974

Rozsah grafických laboratorních prací:

Rozsah průvodní zprávy:

Sestava odborné literatury:

1. Dr. M. Kostál : *Podíl elektrotechnické kertas na hmotnosti konstrukčního materiálu.*
III. základní práce výzk. 1963.
2. K. Kostál, J. Balán : *Beziehung zwischen der Viskosität einer Flüssigkeit u.
der Schallgeschwindigkeit.*
Comptes et Accusées, Stuttgart 1970
3. Dr. M. Karafeld : *Upravení i přednost lidství.*
Ges. Ind. Techn. teor. lit., Praha 1952

Vedoucí diplomové práce: Doc. Ing. S. Kostál CSc

Konsultanti: Ing. Z. Nováček

Datum zahájení diplomové práce:

Datum odevzdání diplomové práce:

L. S.

Doc. Ing. S. Kostál CSc

Vedoucí katedry

Simon

Děkan

v

Liberát

dne

4. VI.

1970

OBSAH

- 1. Úvod
- 2. Z historie výzkumu kavitace
- 3. Kavitační jev
 - 3.1. Hydrodynamické podmínky vzniku kavitace
 - 3.2. Vlastnosti kapalin ovlivňující vznik kavitace a kavitační rozrušování
 - 3.2.1. Objemová pevnost
 - 3.2.2. Povrchové napětí
 - 3.2.3. Viskozita
 - 3.2.3.1. Základní vlastnosti
 - 3.2.3.2. Dynamická vazkost
 - 3.2.3.3. Kinematická vazkost
- 4. Kavitační rozrušení materiálu - vývoj názorů
- 5. Metody zkoušení kavitační odolnosti materiálu
 - 5.1. Laboratorní přístroj
 - 5.1.1. Kavitační trysky a tunely
 - 5.1.2. Rotační nárazový přístroj
 - 5.1.3. Rázový přístroj
 - 5.1.4. Magnetostrukturální přístroj
- 6. Ochrana proti kavitačním účinkům
 - 6.1. Elektrická ochrana
 - 6.2. Úprava kapalin
- 7. Experimentální část
 - 7.1. Zkoušené vzorky kapaliny a systém značení
 - 7.2. Popis použitého zařízení a postup práce
 - 7.2.1. Příprava a popis vzorků etylenglykolu
 - 7.2.2. Měření viskozity na Englerově viskozimetru
 - 7.2.3. Měření viskozity na Höpplerově viskozimetru
 - 7.2.4. Měření povrchového napětí stalagnometrem
 - 7.2.5. Pozorování změn povrchového napětí při průchodu el. proudu etylenglykolem

8. Hodnocení

8.1. Zhodnocení výsledků a metodik

8.1.1. Měření viskozity na Englerově viskozimetru

8.1.2. Měření viskozity na Höpplerově viskozimetru

8.1.3. Měření povrchového napětí

9. Závěr

1. ÚVOD

Kavitace je známa poměrně dlouhou dobu. Avšak teprve s intenzivním rozvojem různých hydraulických strojů a zařízení vystala potřeba důkladného studia kavitačního jevu, jeho příčin i důsledků. Již při pouhém přehlídnutí publikací, týkajících se kavitace, zjistíme, jak mnoho a jak intenzivně se v tomto obooru pracuje. Přestože jsou dosahovány dobré praktické výsledky, nedá se říci, že by výzkum kavitace byl ukončen. Ostatně nelze hovořit ani o jednoznačném a potvrzeném názoru na kavitační jev. Tato skutečnost nám napovídá o složitosti kavitačního jevu, který přesahuje hranice jednoho vědního oboru a zasahuje do mnoha odvětví. Pozornost odborníků se soustředila hlavně na výzkumy kavitační odolnosti materiálů, vlastnosti kapalin, mechanických, elektrochemických a jiných účinků kavitace, vlivu kavitační oblasti na provozní vlastnosti hydraulického stroje nebo zařízení a mnoha dalších problémů, souvisících ať přímo nebo nepřímo s kavitačním jevem. Dynamika kavitačního jevu nás staví před problém validity a reliability měření a tedy i před problém měřicích přístrojů a měřicí techniky, neboť charakter tohoto jevu je mikroskopický. To znamená, že probíhá ve velmi krátkých časech a na malých plochách.

Tyto problémy úzce souvisí s metodikou výzkumu a rozvržením výzkumných prací.

Nicméně prudký rozvoj techniky a s ním samozřejmě rozvoj hydraulických strojů a zařízení nutil a nutí vědce a techniky k řešení problémů souvisících s kavitací. Rovněž důvody jako šetření materiálem, zvýšení trvanlivosti strojních součástí a tím i strojů nutí k intenzivnější výzkumné práci v oboru kavitace.

Účelem této práce je zjistit, zda má elektrické pole vliv na vlastnosti kapalin, které více či méně ovlivňují kavitační jev. Za cíl jsem si nekladl zjištění absolutních hodnot vlivu, ale pouze to, zda a jakým směrem vlivnuje elektrické pole zkoumané vlastnosti kapalin.

2. Z HISTORIE VÝZKUMU KAVITACE

Již Leonard Euler v roce 1754 naznačuje ve své teorii vodních turbin kavitační jev. Upozorňuje na to, že při malém tlaku v dokonalé kapalině mohou nastat nesrovnalosti mezi teorií a praxí. Při experimentech byla poprvé zjištěna kavitace v roce 1874 Kundtem a Lehmanem, když vyšetřovali podélné kmitání v kapalině vyvolané zvukovými vlnami. V praxi se poprvé setkáváme s kavitací v roce 1894 a to při zkouškách anglického torpedoborce Daring s lodními šrouby. S rostoucími požadavky na rychlosť lodní dopravy rostly i požadavky na rychloběžnost lodního šroubu. To se vyfěšilo u torpedoborce Turbinia použitím rychloběžné turbíny místo parního stroje. Výsledky zkoušek neuspokojily, neboť se nedosáhlo ani zdaleka předpokládané rychlosti. U lodních šroubů se objevila kavitace, která byla popsána v roce 1895 S. W. Barnabym. Podle jeho doménky byl pokles výkonu způsoben tvořením bublinek, které jsou vyplněny parou. Na podobné těžkosti upozornil i Parsons u torpedoborce Turbinia. Uvedl, že lodní šrouby musely být několikrát vyměněny, protože při vyšších otáčkách nastalo snížení tahu a na šroubu bylo po několikahodinovém provozu zjištěno rozrušení kovu, které mělo houbovitý vzhled.

U vodních turbin se objevila kavitace až v roce 1907. Wagenbach podal zprávu o rozrušení oběžného kola Francisovy turbíny hydroelektárny v Jaice v Bosně. Toto kolo bylo zničeno kavitačním účinkem již za několik týdnů provozu. Se zvyšující se rychloběžností vodních turbin se objevovala kavitace častěji. Na souvislost s lodními šrouby poukázal v roce 1919 Thoma. Problémy s kavitací vzrostly ještě po zavedení vrtulových turbin.

Přibližně v této době se začíná intenzivně pracovat na výzkumu kavitace. Výzkum vlastního kavitačního jevu se zaměřil nejprve na teoretické a experimentální zjištění podmínek kavitace. Různí badatelé zjistili, že nutnou podmínkou vzniku kavitace je pokles tlaku proudící kapaliny na hodnotu tlaku nasycené vodní páry při dané teplotě. Později, přibližně v roce 1920,

se výzkumy zaměřily na odolnost materiálů proti kavitační korozii. Vedle toho se výzkumy zabývaly i jevy probíhajícími v kavitaci, t. j. vznikem a zánikem kavitačních dutin. Tyto experimenty si vyžádaly podrobnější informace o fyzikálních vlastnostech kapalin, zejména o jejich tahové pevnosti.

Výzkum kavitace začínal v Evropě, ale dnes se těžiště výzkumu přesunulo do USA a SSSR. Tyto průmyslově vyspělé země mohou zajistit výzkum kavitace, který se stává stále více náročným co do měřicích metod i přístrojů a tím také dražším.

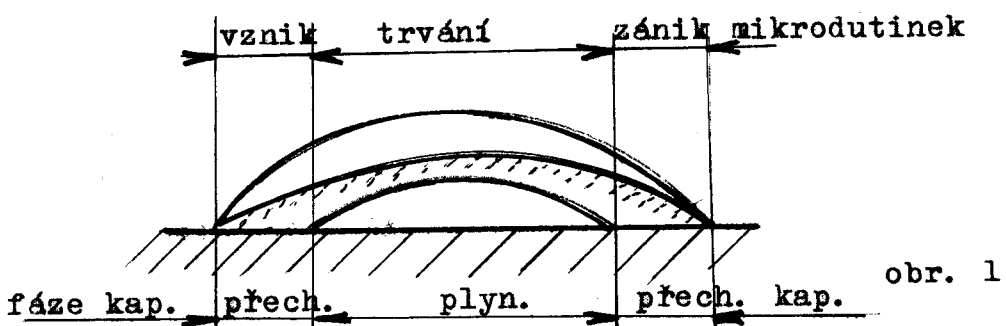
3. KAVITAČNÍ JEV

3.1. Hydrodynamické podmínky vzniku kavítace

Pod pojmem kavítace chápeme utváření a zánik dutin v pohybující se kapalině, které vznikají následkem rozrušení její kompaktnosti. Slovo kavítace vzniklo z latinského "cavitas" - dutina.

Při sníženém tlaku v kapalině na kritickou hodnotu, která je řádově blízko tlaku nasycených par při příslušné teplotě, nastane rozrušení jednolité kapalné fáze a vzniknou dutiny. Tyto dutiny jsou zaplněny parami a plyny uvolněnými z kapaliny. Vznikem páry se absorbuje teplo, které je odebíráno kapalině. Současně je snížení tlaku doprovázeno nejen vznikem par ale i vyloučováním vzduchu a jiných plynů obsažených ve vodě. Na velikost tlaku má vliv:

1. Druh a stav kapaliny, tzn. především její teplota
 2. Druh, množství a stav plynů obsažených v kapalině.
- Z toho plyne, že obsah dutin závisí na druhu a stavu kapaliny a na druhu, stavu a množství plynů v ní obsažených. Struktura kavitační dutiny není zpravidla homogenní. Dá se rozdělit na dvě části:
1. na část homogenní, vyplňenou parami kapaliny a plyny z ní vyloučenými a na
 2. část přechodnou, která se nachází mezi kapalnou a plynnou fází [10] viz obrázek 1.



Objem, který zaujímá kavitační dutina se může pohybovat ve značném rozmezí a sice od kubického milimetru až do několika kubických metrů. [3] Tyto dutiny nebo bubliny jsou unášeny proudem tak dlouho, až se dostanou do místa s vyšším tlakem než je tlak kritický. V tom okamžiku se dutiny začnou zmenšovat až konečně dojde k zániku úplnému. Pro představu o charakteru kavitačního jevu je nutné studovat podmínky vzniku tohoto jevu, t.j. mechanismus utváření, trvání a zániku kavitačních dutin.

Bernoulliho zákon vyjadřuje závislost mezi rychlosí a tlakem při pohybu stacionarního proudu:

$$dh + \frac{dp}{\rho} + \frac{dv^2}{2g} = \text{konst.}$$

Kde dh odpovídá elementální polohové energii, $\frac{dp}{\rho}$ odpovídá tlakové a $\frac{dv^2}{2g}$ kinetické energii a kde

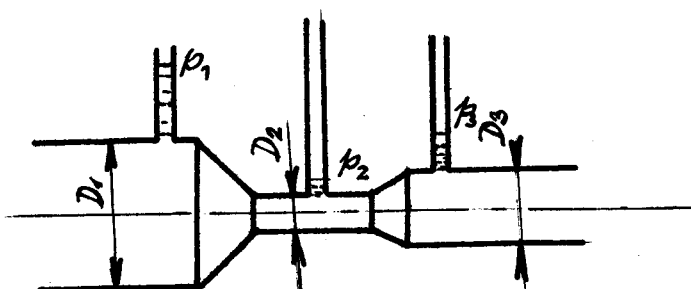
ρ = hydrostatický tlak

ρ = měrná /specifická/ váha kapaliny

v = rychlosí pohybu proudu kapaliny

g = gravitační /tíhové/ zrychlení.

Tedy za předpokladu $dh = 0$, nestlačitelnosti a zanedbatelné malé viskozity proudící kapaliny z tohoto vztahu vyplývá, že součet tlakové a kinetické energie je konstantní. Tuto závislost mezi tlakem a rychlosí můžeme znázornit následovně [3] :



obr. 2

Vezmeme trubku, která má proměnlivý průřez, ve které bude proudit kapalina, a která bude mít v různých místech svislé trubice. Podle Bernoulliho zákona bude v nejužším průřezu maximální rychlosť a kapaliny ve vertikální trubici vystoupit do menší výšky než v ostatních průřezech. Při dostatečně malé ploše minimálního průřezu zjistíme, že kapalina nejen že nevystoupí ve svislé trubici, ale naopak se bude touto trubicí nasávat vzduch zvenčí. Z tohoto lze usuzovat, že v místě dostatečného zúžení průřezu rychlosť stoupá, ale tlak klesá na nulovou hodnotu nebo může nabývat až záporných hodnot, tzn. že se v tomto místě bude kapalina podrobovat tahu. Může dojít i k přerušení komplaktnosti proudu a vytvořit se tedy kavitační oblast.

V našem pokusu tedy kleslý hydrostatický tlak na hodnotu řádově blízkou tlaku nasycené páry při dané teplotě kapaliny, voda se začala vypařovat a tvořila kavitační dutiny zaplněné témito parami a plyny, které byly v kapalině obsaženy.

Zkoušky různých autorů za účelem stanovení tlaku a teploty, které vznikají při zániku kavitačních bublin dávají velký rozptyl výsledků. To souvisí s tím, že množí autoři ve svých výpočtech nepřihlíží k tlumícímu působení plynů, které jsou vždy v kavitační bublině. Tento plyn působí vždy při zániku bublinky jako brzda. Z toho vyplývá, že skutečný tlak, který vzniká při srážení bublinky bude menší než tlak vypočtený.

Určitou roli při vzniku kavitace hrají i fyzikální vlastnosti kapaliny. V následující kapitole se budu některými zabývat.

3.2. Vlastnosti kapalin ovlivňující vznik kavitace a kavitační rozrušování

Rozhodující vliv při kavitačním rozrušování materiálu se přisuzuje hydraulickým úderům, způsobeným zánikem dutiny.

Z toho je zřejmé, že intenzita rozrušení bude určována kapalinou, jejími vlastnostmi. Vlastnosti kapaliny ovlivňují i vznik a zánik kavitačních dutin. Proto bude účelné, podat stručnou charakteristiku jednotlivých vlastností kapaliny vzhledem ke kavitačnímu jevu.

3.2.1. Objemová pevnost

Kapalinu je možno zkoumat jako těleso, které má určité komplex mechanických vlastností. Je jí proto možné podrobit mechanickému působení, např. tahu [3]. Je známo, že při velkých rychlostech deformace se kapalina chová jako tuhé těleso. Např. při vhodných podmínkách je kapalina schopna se křehce rozrušovat. Při menších rychlostech deformativní lze zase pozorovat plastickou deformaci. Náchylnost kapaliny k porušení homogenity je určena objemovou pevností. Objemovou pevností se rozumí tlak, při kterém se poruší celistvost kapaliny. U homogenní kapaliny je způsobena značnými silami mezi molekulárními vrstvami kapaliny. K roztržení těchto vrstev je třeba značných napětí. Objemová pevnost je závislá na druhu kapaliny, na stavu povrchu těles hranících s kapalinou, na teplotě kapaliny a jejích vlastnostech: na povrchovém napětí, vaznosti, stupni nasycenosti plynu a jinými nečistotami.

Největší vliv má stav povrchu tuhého tělesa, který se stýká s kapalinou. Např. u vody při 20°C se objemová pevnost pohybuje v rozmezí od 0,02 do 280 kp/cm^2 v závislosti na tomto faktoru [3].

Na teplotě kapaliny závisí asi takto: u vody do 5°C prudce roste a pak zvolna klesá [11].

Vaznost má na objemovou pevnost menší vliv, který je vyjádřen empirickým vztahem $G_D = 3,25 + 0,825 \cdot \log \gamma$ [11].

Obsah nerozpuštěných plenů a málo smáčivých tuhých částic značně zmenšuje objemovou pevnost tím, že poruší homogenitu molekulárních vrstev. V homogenní kapalině by vůbec nedocházelo ke kavitaci, neboť by kapalina byla schopna přenést tahová napětí, vznikající při podtlaku nižším než

tlak nasycených par.

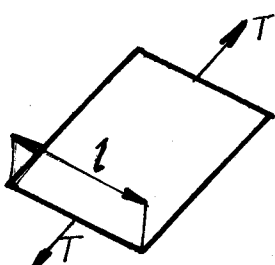
Rozpuštěné plyny mají velmi malý vliv na objemovou pevnost kapaliny a podobně dobře smáčivé tuhé částice. Při dobrém smáčení kapalinou se vyznačují velkým povrchovým napětím, které se podle experimentálních výsledků shruba rovnají molekulárním silám. [1]

3.2.2. Povrchové napětí

Mezimolekulární síly se v kapalině projevují rovněž tím, že výsledná síla, působící na částici na povrchu kapalinného tělesa, směruje kolmo k tomuto povrchu dovnitř. Souhrn těchto sil působí na venek tak, jako by kapalinné těleso bylo obepneno pružnou blanou [9]. Napětí této blany zajišťuje souvislost tělesa a s ostatními silami i jeho tvar. Pro technickou praxi nemá význam počítat s tloušťkou povrchové blanky, neboť se udává asi na 10^{-7} cm [1]. Z toho důvodu se zavádí pojem specifického /měrného/ napětí C, které je dáno vztahem

$$C = \frac{dT}{dl}$$

kde T je síla připadající na délku l.



obr. 3

Rozměr tohoto napětí se udává v [dyn/cm] nebo v [mp/cm], což jsou hodnoty téměř stejné neboť jeden dyn = 1,02 mp. / 1 mp [milipond] = 10^{-6} kp/ [1].

Nejvýznamnějším projevem povrchového napětí kapaliny je její vzlínání v trubičkách velmi malého vnitřního průměru, v tzv. kapilárách. Proto se měrné povrchové napětí C nazývá také někdy kapilární konstantou. Další výrazné projevy povrchového napětí jsou např. při odkapávání, rozprašování a pod.

Kapilární konstanta je závislá na teplotě. Např. u vody se mění s teplotou přibližně lineárně, takže při 100°C je $C = 55 \text{ dyn/cm}$ a při 200°C je $C = 25,5 \text{ dyn/cm}$ a poblíž kritického bodu $/374^{\circ}\text{C}/$ se kapilární konstanta rychle blíží k nule $/1/$. Uvedené hodnoty platí za předpokladu, že povrch kapaliny se stýká se vzduchem. Při jiné kombinaci látek můžou být kapilární konstanty jiných hodnot.

Síly povrchového napětí ovlivňují i průběh kavitační akce. Jejich vliv spočívá v tom, že urychlují zánik kavitační dušiny a tím zvyšují okamžité místní tlakové maximum $/9/$. V důsledku toho má povrchové napětí značný vliv na intenzitu rozrušení kovu v kavitující kapalině. Zvětšení koeficientu povrchového napětí vede ke zvýšení intenzity rozrušení kovu vlivem kavitace.

3.2.3. Viskosita /vazkost/

3.2.3.1. Základní vlastnosti

Vazkost kapaliny se projevuje předně tím, že kapalina lplí na stěnách kanálu, takže její rychlosť roste obecně od nuly směrem dovnitř proudu. Tím vznikají mezi myšlenými sousedními vrstvami proudu čili proudovými vlákny, které se pohybují nestejnými rychlosťmi, tečné síly. Zmenšuje se tím vždy hydraulická energie kapaliny. Tento úbytek se projeví buď jako pokles tlaku, nebo jako pokles rychlosťi, je však samozřejmo, že se zřetelem na zákon zachování energie se jeho ekvivalent přemění v teplo.

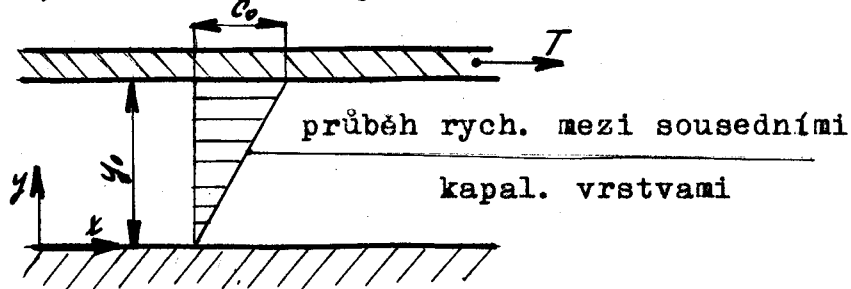
3.2.3.2. Dynamická vazkost

Předpokládáme-li, že kapalina lplí na povrchu obou desek, takže její rychlosť je nulová pro $y=0$ a roste úměrně s odlehlostí y až na $c = c_0$ pro $y=y_0$. Napětí τ je podle zkušenosti lineárně závislé na rychlosťi, tzn.

úměrné rychlostnímu spádu, takže lze psát

$$\tau = \gamma \frac{c_0}{g_0} = \frac{\tau}{F}$$

Součinitele uměrnosti γ nazýváme dynamickou nebo absolutní vektorstí tekutiny. Jego převrácená hodnota $1/\gamma$ je někdy zvaná tekutostí /fluiditou/ látky.



obr. 4

Rozměr součinitele dynamické vektorstí γ plyne z rovnice

$$[\gamma] = \left[\frac{T \cdot y}{F \cdot c_0} \right] = \frac{kp \cdot m}{m^2 \cdot m \cdot s^{-1}} = \frac{kp \cdot s}{m^2}$$

Jeho velikost je tedy v technické soustavě jednotek dána silou v kp, působící na plochu 1 m², která se ve vzdálenosti jednoho metru od stojící stěny pohybuje podél ní rychlostí 1 m/s. Fyzikální jednotka dynamické vektorstí γ zvaná poise, má rozměr

$$\rho = \frac{\text{dyn. cm}}{\text{cm}^2 \cdot \text{cm} \cdot \text{s}^{-1}} = \frac{\text{dyn} \cdot \text{s}}{\text{cm}^2}$$

Jednotka stokrát menší se nazývá centipoise: cP = 10⁻²ρ.

V soustavě SI je hlavní jednotkou dynamické vektorstí Ns/m² = 1000. Dynamická vektorstí γ , která je pro některé látky udána v tabulkách, prakticky se s tlakem nemění, za to však dosti značně závisí na teplotě: u kapalin serostoucí teplotou klesá, u plynů, jejichž dynamická vektorstí je podstatně menší, naopak s teplotou roste. Toto nestejná chování lze vysvětlit skutečností, že u kapalin se vazba molekul teplem uvolňuje a jejich vzájemné působení zmenšuje, kdežto u plynů s teplotou stoupá hybnost molekul, a tím i intenzita výměny impulsů.

3.2.3.3. Kinematická vazkost

V pohybových rovnicích skutečných tekutin se jako další významná veličina objevuje podíl dynamické vaznosti a měrné hmoty $\rho = \frac{\rho}{g}$, který nazýváme kinematickou vazkostí $\nu = \frac{\gamma}{\rho}$. V technické soustavě dostaneme pro součinitele kinematické vaznosti čili viskozity

$$\nu = \gamma \cdot \frac{1}{\rho} \cdot \rho = \frac{k_p \cdot s}{m^2} \cdot \frac{m^3}{k_p} \cdot \frac{m}{s^2} = \frac{m^2}{s}$$

a ve fyzikální soustavě

$$\nu = \frac{g}{cm \cdot s} \cdot \frac{cm^3}{g} = \frac{cm^2}{s}$$

takže 1 techn. jedn. $= 10^4$ fyz. jedn. Nazveme-li fyzikální jednotku kinematické viskozity stokes /stok S/, a veličinu sto-krát menší centistokes /cS/, pak

$$1 \text{ tech. jedn. } \nu = 10^6 \text{ cSt}$$

S rostoucí teplotou klesá kinematická vazkost kapalin poněkud pomaleji než vazkost dynamická, kdežto u plynů naopak roste ν rychleji než γ. Kinematická viskozita plynů závisí též značně na tlaku, neboť $\nu = \frac{\gamma}{\rho} = \gamma \cdot \frac{1}{\rho} \cdot \rho$ měrný objem V se podle stavové rovnice $\rho V = RT$ mění s tlakem napřímo úměrně. K měření viskozity se používá různých přístrojů, které se rozdělují podle principu na výtokové, rotační a těliskové.

Poměrná kinematická viskozita se nejčastěji udává v empirických stupních Englera. [1].

Vazkost má vliv na objemovou pevnost /jak již bylo poukázáno v odstavci 3.2.1./ a tím, na kavitační akci.

4. KAVITAČNÍ ROZRUŠENÍ MATERIALU - VÝVOJ NÁZORŮ

Fyzikální a chemické vlastnosti kapaliny určují spolu s hydrodynamickými poměry podmínky vzniku kavitace a popřípadě i chemické působení na materiál. Vlastnosti materiálu, jeho složení, struktura a ostatní vlastnosti určují zase odolnost materiálu proti kavitačnímu rozrušení.

Na počátku tohoto století vznikly téměř současně dva názory na způsoby kavitačního rozrušování materiálu. Jedna skupina badatelů tvrdila, že kavitační rozrušování je způsobeno hlavně otěrem /erozí/ povrchu kovu mechanickým účinkem kapaliny, která proudí velkou rychlosí. Druhá skupina vyslovila názor, opírající se hlavně o elektrochemickou korozi. Jedno vysvětlení se opírá hlavně o mechanický účinek a druhé o elektrochemický, případně chemický jev.

Jedním z prvních badatelů, kteří se přiklonili k názoru, že kavitační rozrušování je způsobeno mechanickým účinkem, je Sielberrad [15]. Provedl zkoušky na nárazovém přístroji a kavitační odolnost vyjádřil váhovým úbytkem vzorku. Zkouškami zjistil dobrou odolnost specialní mosazi a kromě toho se ukázalo, že materiály, které jsou chemicky pasivní /zlato, beton, achát aj./ podléhají také kavitačnímu rozrušování. To pak dokazovalo, že hlavním účinkem v kavitačním rozrušování je mechanické působení velkých rázů, které vznikají při zániku kavitačních dutin [11].

Představy korozionistů vyjádřil Ramsay [16]. Podle něj se při kavitačním napadení nejdříve rozpouštějí méně odolné krystaly a ostatní zůstávají nenarušeny. Houbovitý vzhled vedl k doměnce, že proces je elektrochemický. Toto potvrzovala i zkušenost, že materiály odolávají kavitaci v mořské vodě 10x méně než ve sladké vodě. Podstatou názorů korozionistů spočívá v tom, že kapalina tvorí elektrolyt a na povrchu kovů se tvorí vrstva kysličníků. Mechanický účinek proudu omezovali jen na odstraňování této produktu koroze a na tření mezi proudící kapalinou a povrchem kovu.

Podobně soudili o účinku hydraulických rázů. Větší rychlosť kavitační koroze vůči chemické připisovali pohybu kapalin, který odstraňuje ochrané vrstvy kysličníků. Rovněž poznatek, že odolnost nerezavějících ocelí je větší, sváděl k zdůraznění korozivního charakteru kavitačního rozrušování. Tím ovšem nebyl názor jednoznačně potvrzen, neboť zůstala otázka, zda kavitační odolnost nerezavějících slitin je dána chemickou odolností nebo mechanickými vlastnostmi.

Výsledky ukazují, že se prakticky uplatňují oba dva jevy v kavitačním rozrušování a působí společně. Agresivita prostředí kapaliny a tím elektrochemické koroze se projevuje více u materiálů, které jsou méně odolné proti korozi. Různí autoři potvrzují, že kavitační odolnost materiálů není totožná s odolností proti korozi [3]. Zjistili, že např. Al bronz a Mn mosaz mají přibližně stejnou odolnost proti korozi, avšak velmi rozdílnou kavitační odolnost. Wheeler z pozorování vydrolených částic, z jejich deformace a změn usoudil, že větší podíl v kavitačním rozrušování má chemický údinek, který připisuje vysokým teplotám v napadených místech.

U řady jiných autorů je korozi přisuzován druhohradý význam. Je také známo, že kavitační rozrušování je $5\ 000 \rightarrow 100\ 000$ x rychlejší než korozivní rozrušování.

Jiná je představa o kavitačním rozrušování jako o únavě velmi malých částic kovu. Výstupky mikroskopických nerovností jsou velmi dynamicky namáhaný účinkem hydraulického rázu a únavou materiálu se nakonec vylamují. Tyto vylámané částice zůstávají v kapalině a ovlivňují její fyzikální a chemické vlastnosti. U leštěného povrchu je rozrušení mnohem pomalejší než u povrchu drsného [3][11].

Na základě elektrochemických jevů se vysvětluje vliv hladkosti povrchu na kavitační odolnost materiálu. Jelikož na drsném povrchu jsou jednotlivé výstupky vystaveny rozdílným mechanickým napadením, dojde k nerovnoměrnému rozložení elektrických potenciálů. Mezi částmi drsného povrchu se pak

vyrovnávají elektrické potenciály a koroze probíhá rychleji. Naproti tomu se na hladkém povrchu vytvoří souvislejší a rovnoměrnější ochranná vrstvička kysličníků a tato zvýší korozivní odolnost hladkého povrchu [3] [11]. Deformace povrchové vrstvy jsou doprovázeny též jejich ohřevem, což vede k tepelnému namáhání vrstev nestejnou teplotou ve strukturních složkách, mající různou tepelnou vodivost. Teplejší část se stává anodou a chladnější katodou, při čemž v těchto podmínkách, vlivem vznikajícího st. proudu se anoda rozrušuje, zatímco katoda zůstává beze změny [7]. Tento názor na vznik termočlánků se opírá hlavně o ohřev materiálů energií rázů. Není však vyloučeno, že k ohřevu může dojít stykem kavitačních dutin se zbytkem stlačeného a přehřátého plynu.

Kavitační rozrušování probíhá ve dvou fázích. V inkubaci době se neprojevuje úbytek materiálu /nebo jen malý/, ale při úplném rozvinutí kavitační akce se materiál vydroluje a úbytek je velký. V inkubační době probíhají různé jevy jako např. změna velikosti krystalů [7], vznik poruch, které jsou spojeny s napětím materiálu [8] a pod.

Z uvedených názorů je patrné, že kavitační rozrušování je složitý jev, který zahrnuje mechanický účinek a elektrochemickou korozi. Dosavadní výsledky ukázaly, že mechanické účinky jsou primární a jsou doprovázeny korozí.

Podíl obou rozrušení se může změnit v širokém rozmezí /Doc. Němeček např. uvádí, že mechanické účinky se podílí 60 % a chemická koroze 40 % z celkového rozrušení. [11] ./ a je závislý na kavitační a chemické odolnosti materiálu, agresivitě kapaliny a intenzitě kavitačního účinku. Podle dosavadních výsledků je možné si učinit představu o průběhu kavitačního rozrušování: Účinkem rázů, které vznikají při zániku kavitačních dutin na povrchu kovu, vznikají deformace, materiál se zpevňuje, při čemž dochází k posuvům skupin materiálu. V materiálu vznikají trhliny, což má za následek při dalších pázech koncentraci napětí a vy-

drolování materiálu. Kavitovaný povrch nabývá houbovitého vzhledu. Nerovný povrch zesiluje účinky rázu při zániku kavitačních dutin.

5. METODY ZKOUŠENÍ KAVITAČNÍ ODOLNOSTI MATERIAŁU

Kavitační rozrušování je možno sledovat v přirozených podmínkách ^{nebo} na speciálních laboratorních přístrojích.

Při zkouškách v přírodních podmínkách jsou prováděny zkoušky buď přímo na vodních trubinách, kde oběžné kolo je vyrobeno s lopatkami, z nichž každá je z jiného materiálu, nebo se zkoušky provádějí na modelech ve zkušebních stanicích, jako např. u firmy Escher - Wyss [5]. Konečně se také mohou do oblasti kavitačního působení připevňovat vzorky.

Tyto zkoušky jsou však příliš dlouhé, hospodářsky nákladné a mimo to nedávají možnost plynulého studování postupu kavitačního rozrušování. Proto byly hledány laboratorní metody, které by umožnily vyvolat mnohem intenzivnější kavitaci, aby se doba zkoušky zkrátila.

Pro tyto laboratorní zkoušky se rozšířily tři základní způsoby:

- a/ rozrušení materiálu mnohonásobnými údery o paprsek vody
- b/ vytvoření kavitační oblasti v dýze
- c/ " " vibrací.

5.1. Laboratorní přístroje

V této kapitole se omezím pouze na stručný popis základních typů kavitačních přístrojů s uvedením literatury, ve které jsou tyto přístroje podrobněji popsány a vyobrazeny.

5.1.1. Kavitační trysky a tunely [3][5][10][11]

Prvním zkušebním zařízením byla kavitační tryska. Při průtoku nejužším místem kavitační trysky dosáhla kapaliny takové rychlosti, že její tlak klesl na tlak nasycených vodním par a vznikla kavitace. Na konci kavitační oblasti kde se projevují účinky kavitace na materiál, se připevňují vzorky z různých materiálů na nichž se projevuje kavitační

rozrušení. Tyto přístroje slouží i ke studování vlastního kavitačního jevu.

5.1.2. Rotační rázový přístroj [1] [3] [5] [10]

Vzorky zkoumaného materiálu se pohybují na obvodě rotujícího kotouče a narážejí na vodní paprsek. Mechanický účinek kavitace na materiál je nahrazen rázem zkoušeného vzorku na vodní paprsek. Trysky, z nichž vytéká kapalina, jsou umístěny na rovinu kotouče. Různými obvodovými rychlosťmi a různě velkým ϕ kapalinového paprsku se dá řídit intenzitu kavitační akce. Záleží rovněž na ploše vzorku, který vchází ve styk s paprskem kapaliny.

Tento přístroj znamená podstatné snížení výkonu zkušebního zařízení proti tryskám, přičemž kavitační zkoušky probíhají rovněž rychleji.

5.1.3. Rázový přístroj

Tímto přístrojem se vyvolávají v kapalině rázové vlny. Účinek kapaliny na vzorek je vyvolán tlakovými vlnami, které se šíří od pistu, na který buší pneumatické kladivo. Kuželový tvar prostoru, který je zaplněn vodou, zvyšuje rázový účinek kapaliny na vzorek, na němž se vyvolává kavitační rozrušení. Do prostoru se přivádí tlaková voda o přetlaku /5 až $3/ 10^5 \text{ N/m}^2$. Energie rázu se pohybuje v rozmezí 1 až 2 kpm.

5.1.4. Magnetostriktční přístroj

V roce 1932 upozornil Gaines na možnost použití magnetostriktčního přístroje.

Přístroj je založen na magnetostrikcii. Je to změna lineárních rozměrů feromagnetických materiálů a jejich slitin ve střídavém magnetickém poli. Mezi materiály mající vysoké magnetostriktční hodnoty patří např. nikl a některé jeho slitiny, jako např. permalloy, které obsahuje 78,5% Ni.

Umístíme-li niklovou trubku do cívky, kterou prochází proud, pak vlivem magnetického pole, které vzniklo v soustavě, změní se rozměr magnetostriktčního materiálu.

Připustíme-li magnetizační cívku střídavý proud, bude se magnetické pole měnit synchronně s mimočasem napájecího zdroje.

V těchto podmírkách bude magnetostriční člen měnit periodicky své rozměry, tzn., že se bude střídavě prodlužovat a srašťovat. Při shodě frekvencí zdroje proudu a měniče se amplituda kmitání značně zvětšuje. Za dobu jedné půlperiody proudu, napájecího cívku, se vykoná celý cyklus kmitu, což vede ke zdvojení frekvence kmitání magnetostriční tyče vzhledem ke kmitočtu napájecího proudu. K zabránění zdvojení amplitudy a pro zvětšení intenzity vyřazování se ke střídavému magnetickému poli přidává stejnosměrné pole, tzv. předmagnetizace.

Střídavé magnetické pole se vytváří vysokofrekvenčním proudem z oscilátoru. Pro dosažení maximálního kmitání je zapotřebí, aby oscilační kruh byl nařaděn na frekvenci vlastního kmitu niklované trubky. Frekvence kmitu bývá v rozmezí 6,5 až 25 Hz. Vlastní kmity niklové trubky jsou dány vztahem $f = \frac{1}{2\pi} \cdot \sqrt{\frac{E}{S}}$, kde l je délka trubky, E = modul pružnosti niklu a S = měrná hmotnost niklu. Tyč musí být chlazena, aby nenastalo její ohřátí na teplotu 360°C , což je Curieho bod, při kterém magnetostriční účinek u niklu mizí [1].

Tyč z niklu je uprostřed uchytena a na jejím konci je upevněn vzorek materiálu, který kmitá s trubkami. Jestliže se vzorek ponoří do kapaliny, vytváří se pod ním kavitace, neboť kapalina nedovede sledovat v důsledku setrvačnosti velmi rychlý pohyb vzorku, takže dochází k jeho odtržení od kapaliny a k jejímu odpařování. Při zvýšení tlaku kavitační dutiny zanikají a dochází k rázovým účinkům na materiál.

Před účinkem ultrazvukového záření je nutno chránit pracovní prostředí absorbujícího personálu izolací přístroje ve skřínce nebo kabíně. Horní přípustná mez zvukové hladiny je 70 dB při 1 000 Hz nebo 65 dB při 8 000 Hz.

6. OCHRANA PROTI KAVITAČNÍM ÚČINKŮM

Kavitace je doprovázena charakteristickým hlukem, vibracemi, obláčky větších či menších rozměrů v kapalině, změnou účinnosti a poškozeným povrchem namočených stěn. Proto je nutná ochrana proti kavitaci. Radikálním řešením proti kavitaci je např. u čerpadel zmenšení ssací výšky, vložením podávacího čerpadla do ssací dráhy nebo překonstruování oběžného kola. Jiným řešením je např. výběr vhodnějšího materiálu na součástky napadené kavitaci. Následkům kavitace se dá ale čelit též zmírněním kavitačních účinků např. elektrickou ochranou povrchu vystaveného kavitaci nebo úpravou kavitačních vlastností kapaliny.

6.1. Elektrická ochrana

Elektrická ochrana je založena na poznatku, že při kavitačním rozrušení byly zjištěny elektrické proudy jako součást elektrochemické koroze. Účinek elektrické ochrany na úbytek kavitačního vzorku na magnetostriktivním přístroji je patrný z obr. 5 na str. 130. Kompenzace elektrického proudu vzorkem a pomocnou elektrodou sníží kavitační úbytek /b/. Protiproudem se dosáhlo dalšího snížení úbytku /c/, což se může vysvětlit nerovnoměrným rozložením proudu po ploše vzorku a elektrického odporu vody, na který má vliv kavitační mrak. Průběh krivek úbytku ukazuje, že elektrická ochrana prodlužuje inkubační dobu [19]. Jakmile se ale kavitační rozrušení vyvine, je ochrana neúčinná. Převládá pak mechanický účinek, charakteristický takřka rovnoměrným úbytkem materiálu.

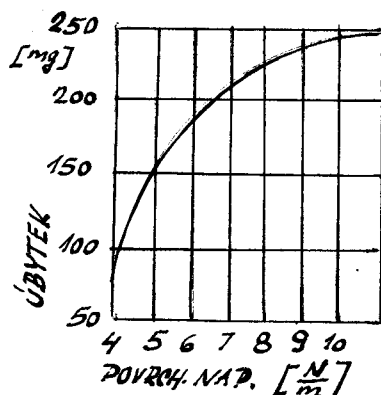
Tyto zkoušky se prováděly i v praxi.

6.2. Úprava kapaliny

Jak již bylo řečeno, chová se kapalina při velkých deformačních rychlostech jako tuhé těleso. Mechanické roztržení kapaliny závisí na napětí, při kterém se poruší spojitost kapaliny.

Kavitací se tato spojitost kapaliny narušuje, proto vznik kavitace je určen pevností kapaliny. Pevnost kapaliny pak závisí na několika činitelích: na teplotě, povrchovém napětí, obsahu plynu a pod.

Na vznik kavitačních bublin má tedy vliv povrchové napětí. Čím nižší je povrchové napětí, tím je zapotřebí méně energie při vzniku kavitačních bublin. To má vliv i na kavitační rozrušení materiálu [11]



obr. 6

Snížením povrchového napětí kapaliny lze zmenšit kavitační napadení. Povrchové napětí se dá v širokém rozmezí měnit přidáním velmi malého množství povrchově aktivních látek, tzv. inhibitorů. To má význam pro uzavřené hydraulické okruhy.

7. EXPERIMENTÁLNÍ ČÁST

V úvodu bylo řečeno, že účelem této práce je zjistit vliv elektrického pole na některé fyzikální vlastnosti kapaliny, a to na viskozitu, viskozní index a povrchové napětí. Při tom ovšem mi nejde o zjištění absolutních hodnot, ale pouze o to, zda má vůbec elektrické pole nějaký vliv a jakým způsobem tyto vlastnosti ovlivňuje. Zkoumanou kapalinou byl etylenglykol, který má chemický vzorec $\text{HOCH}_2\text{CH}_2\text{OH}$, molekulovou váhu 62,07, bod tání -15°C , bod varu $197,4^\circ\text{C}$, hustotu při 0°C $\rho = 1,1155$. Je to bezbarvá, sirupovitá kapalina, sladké chuti. Je misitelný s vodou a alkoholem [20]. Etylenglykol byl zvolen z toho důvodu, že veškeré kavitační zkoušky na Katedře hydraulických strojů VŠST v Liberci se v současné době provádějí v této kapalině.

Podobné zkoušky, ale s některými oleji byly již dříve na této katedře prováděny. Bylo to na podnět průmyslové potřeby, kdy docházelo k záernání olejů, vystavených v hydraulických obvodech dlouhodobě opakovaným náhlým změnám tlaku. Z tehdejších výsledků vyplynulo, že kavitační akce

1/ zvyšuje vazost oleje a

2/ " strmost viskozitní křivky [9].

V literatuře [21] je však citovaný opačný případ, což bylo vysvětleno nestejným použitým olejem a nestejnou dobou kavitace a její intenzitou.

Pokud se týka povrchového napětí bylo zjištěno, že krátkodobé namáhání oleje kavitací je prakticky bez vlivu na tuto vlastnost. Naopak dlouhodobé použití oleje v hydraulickém okruhu zvyšuje povrchové napětí a to pravděpodobně vlivem změn ve struktuře uhlovodíků obsažených v oleji.

7.1. Zkoušené zkoky kapaliny a systém značení

Zkoušenou kapalinou byl etylenglykol, který byl popsán v předešlém odstavci.

Pro měření povrchového napětí byly zvoleny tři vzorky a sice:

- 1/ čistý nepoužity etylenglykol
- 2/ čerstvě kavitovaný "
- 3/ dříve " " tzn., že etylenglykol použitý ke kavitování byl po změření ponechán 24 hodin v klidu ve skleněné kyvetě a pak bylo opět změřeno povrchové napětí.

Na těchto vzorcích bylo měřeno povrchové napětí jednak bez působení elektrického pole na kapalinu a jednak za současného působení elektrického pole na etylenglykol. Elektrické pole, způsobené stejnosměrným proudem mělo napětí $U = 50$ V, nebo $U = 100$ V.

Systém značení těchto vzorků je následující:

Č. vzorku	etylenglykol	doba měření po kavitaci	el. pole
I	čistý, nepoužity	0	0
I ₅₀	" "	0	$U = 50$ V
I ₁₀₀	" "	0	$U = 100$ V
II	kavitovaný	ihned	0
II ₅₀	"	"	$U = 50$ V
II ₁₀₀	"	"	$U = 100$ V
III	"	24 hodin	0
III ₅₀	"	"	$U = 50$ V
III ₁₀₀	"	"	$U = 100$ V

Pro měření viskozity byl zvolen jiný systém, neboť toto měření bylo prováděno dvěma způsoby na dvou různých viskozimetrech a s jinými vzorky. Na Englerově viskozimetru byla měřena viskozita etylenglykolu, na který bezprostředně nepůsobilo elektrické pole, ale kapalina byla vystavena elektrickému poli těsně před měřením, a nebo při kavitování byly zvoleny různé podmínky. Jednou byl etylenglykol podroběn kavitování bez elektrické ochrany /i přetížení/ a podruhé bylo při kavitování použito katodické ochrany. Na Höpplerově viskozimetru byly měřeny vzorky etylenglykolu, který byl při vlastním měření podrobován působení elektrického pole.

Pro měření na Englerově viskozimetru byl pro značení vzorků zvolen tento způsob:

č. vzorku	popis
I	etylenglykol čistý nepoužity
I'	" , ale před měřením byl 20 min. vystaven působení elektrického pole o napětí U 50V
II	čerstvě kavitovaný, tzn. že měření bylo prováděno ihned po kavitaci, při které nebylo použito elektrické ochrany
II'	měřeno ihned po kavitaci, při které bylo použito katodické ochrany, tzn. že působilo elektrické pole o napětí U 50V
III	vzorek měřen 24 hod. po kavitaci, při které nebyla použita elektrická ochrana
III'	měřeno 24 hod. po kavitaci, při které byla použita katodická ochrana, tzn. elektrické pole o napětí U 50V

Pro měření na Höpplerově viskozimetru, kde byl měřen bezprostřední vliv elektrického pole na viskozitu, byly vztahy vzorky s tímto značením:

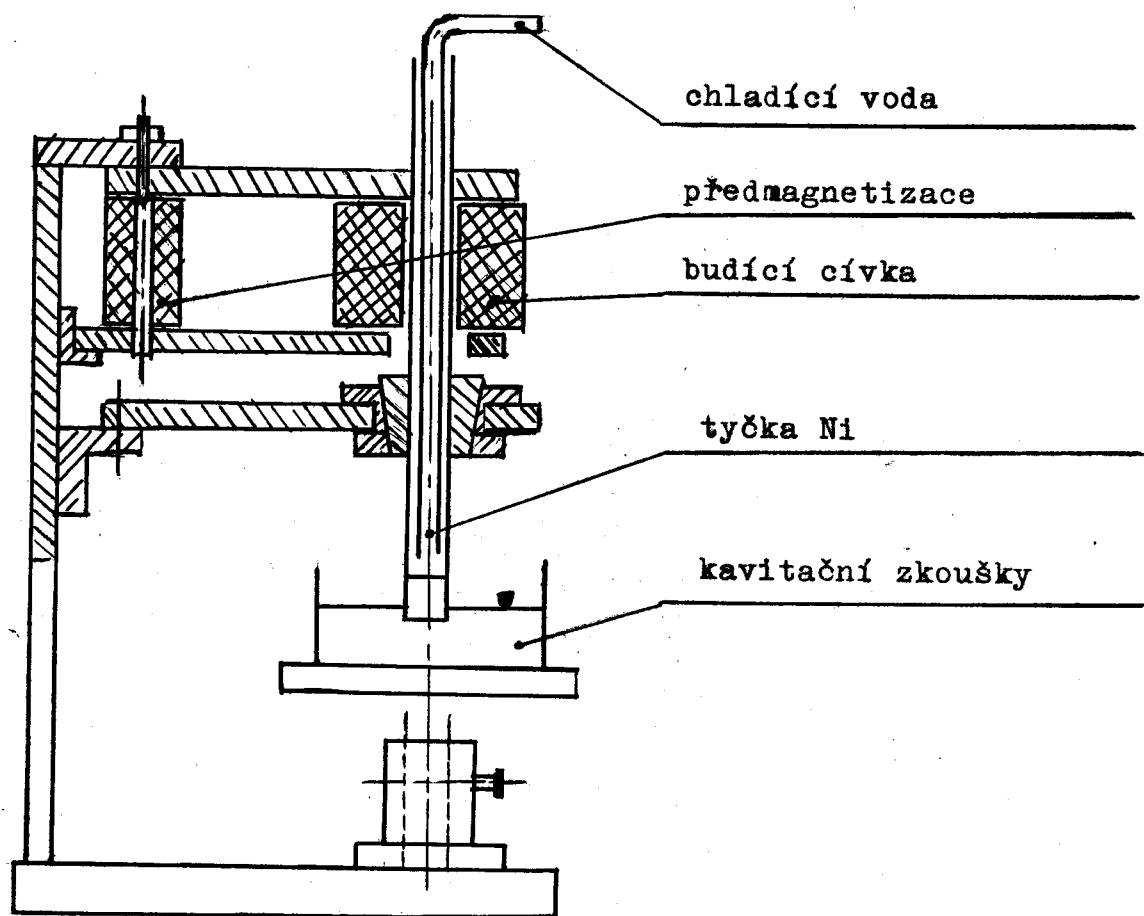
Označení vzorku	Podmínky při kavitaci	Doba měření po kavitaci	el. pole při měř.
A a	nekavitován	0	ne
A b	"	0	ano
Bla	A 20 U 0	ihned	ne
Blb	A 20 U 0	"	ano
B2a	A 20 U +50	"	ne
B2b	A 20 U +50	"	ano
B3a	A 20 U -50	"	ne
B3b	A 20 U -50	"	ano
B4a	A 10 U 0	"	ne
B4b	A 10 U 0	"	ano
B5a	A 10 U +50	"	ne
B5b	A 10 U +50	"	ano
B6a	A 10 U -50	"	ne
B6b	A 10 U -50	"	ano
Cla	A 20 U 0	24 hod.	ne
C1b	A 20 U 0	"	ano
C2a	A 20 U +50	"	ne
C2b	A 20 U +50	"	ano
C3a	A 20 U -50	"	ne
C3b	A 20 U -50	"	ano
C4a	A 10 U 0	"	ne
C4b	A 10 U 0	"	ano
C5a	A 10 U +50	"	ne
C5b	A 10 U +50	"	ano
C6a	A 10 U -50	"	ne
C6b	A 10 U -50	"	ano

7.2. P o p i s p o u ž i t é h o z ařízení a p o s t u p p r á c e .

Dle dříve uvedených hledisek byl sledován vliv elektrického pole na viskozitu a průběh viskozních křivek v závislosti na teplotě a na povrchové napětí a to vzhledem ke kavitační akci.

7.2.1. Příprava a popis vzorků etylenglyku.

Z předešlé kapitoly /7.1./ je patrné, že etylenglykul byla vyvolána kavitace. Kavitování se provádělo na magnetostričním přístroji, jehož princip byl popsán na str. 19 v odstavci 5.1.4. Schema tohoto přístroje je na obrázku 7.



Kmitačem je zde trubka z čistého niklu, která má tyto rozměry:

vnení průměr D 20 mm
vnitřní průměr d 17 mm
délku l 300 mm

Dole je uzavřena zašroubovanou zátkou. Trubka je magneticky buzena na svou rezonanční frekvenci rovnou 3000 Hz, a amplituda, měřená na aktivním spodním konci, je 0,05 mm. Spodní část zátky je asi l mm ponořena do zkoušené kapaliny. Při jejím magnetostriktivním kmitavém pohybu dochází na spodní ploše zátky k tiskovým pulzacím, které mají za následek vznik kavitační oblasti s maximem uprostřed vibrující plochy. Příkon zařízení je 230 W a příkon vlastního kmitače je asi 70 W 5.

Za provozu přístroje vzniká značná intenzita zvuku vysokého kmitočtu /přes 100 dB/, a proto je přístroj umístěn v dřevěné skřínce a s ní v kabíně, čímž je zvuková hladina snížena na přípustnou hodnotu /asi 65 dB/.

Etylen glykol byl podrobován kavitaci o různé intenzitě. V podstatě byly sledovány 4 hodnoty amplitudy /zaznamenány na elektrickém amplitudometru/ a sice: A 20 15 10 5. Při každé hodnotě z těchto amplitud byl dále sledován vliv elektrické ochrany /katodické ochrany nebo anodické přetížení/. Proto byly zvoleny podmínky:

1. bez elektrické ochrany
2. anodové přetížení /U -50V/
3. katodické ochrany /U +50V/

Kavitační obláček, který se objevil pod vzorkem byl fotografován přístrojem "Exakta - Varex" /viz obrázek 8 - 19/. Fotografie kavitačního přístroje s příslušenstvím je na obr. 32 a 33. Pro nedostatek času bylo upuštěno od měření viskozity vzorků kavitovaných při amplitudě A 15 a A 5.

7.2.2. Měření viskozity na Englerově viskozimetru

Schema Englerova viskozimetru je na obr. 20, frontální pohled je na obr. 21.

Popis přístroje: Englerův viskozimetr se skládá z válcové plechové nádoby 2, do níž je vsazena nádoba menších rozměrů, jejíž vnitřní prostor je chromovaný nebo z ne-rezavějící oceli a jejíž dno je mírně skloněno ke středu, kde je kuželový výtokový otvor. Uvnitř této nádoby jsou po obvodu tři hrotů 3, určující výšku plnění. Nádoba 1 je uzavřena výklem 4, v jehož středu je otvor pro uzavírací tyč 7 a na obvodu otvor pro teplomér 6. Vnější nádoba, kterou je možno elektricky vytápět, je opatřena míchadlem 8, teploměrem 5 a výpustním kohoutem, je připevněna ke stojanu a s ním k podstavci 9. K přístroji patří odměrná baňka 10 o obsahu 200 cm³.

Princip metody je založen na měření výtokové rychlosti 200 cm³ kapaliny při dané teplotě v porovnání s výtokovou rychlostí téhož množství destilované vody při 20 °C.

Před vlastním měřením musíme zjistit tzv. vodní hodnotu viskozimetru. To provedeme tak, že do vyčištěné vnitřní nádoby nalejeme asi 240 cm³ destilované vody. Do vnější nádoby napustíme obyčejnou vodovodní vodu a vytemperujeme ji na 20 °C a s ní i obsah vnitřní nádoby. Pak vypustíme tolik vody z malé nádoby, až se bude hladina dotýkat hrotů, což odpovídá 200 cm³. Hladinu necháme ustálit a posléze změříme dobu vý toku vody. Toto měření opakujeme tak dlouho, až se třikrát po sobě naměří hodnoty, které se od sebe neliší o více než 0,5 sec. a přitom celkový čas vý toku se pohybuje v rozmezí 50 - 52 sec.

Po důkladném vyčištění měříme podobným způsobem, za jaký čas vytče 200 cm³ zkoušená kapalina při dané teplotě.

Viskozita ve °E je potom daná poměrem výtokového času měřené kapaliny k průtočnému času stejného objemu destilované vody o teplotě 20 °C.

BNa našem viskozimetru byla stanovena vodní hodnota z těchto časů: 51,0 ; 51,2 ; 51,5 a z toho aritmetický průměr je 51,2 sek, což je jeho vodní hodnota.

7.2.3. Měření viskozity na Höpplerově viskozimetru

Höpplerův viskozimetr patří svým principem měření mezi těliskové viskozimetry a považuje se za jeden z nej-precisnějších. Celkový pohled na Höpplerův viskozimetr je na obr. 22 a 29 na str. a schema je na obr. 23.

Hlavní částí tohoto přístroje je skleněná válcová přesně kalibrovaná trubice 2, která je skloněna pod úhlem 10° ke kolmici a je naplněna měřenou kapalinou. Trubice je obklopena vodní lázní, která se udržuje na potřebné teplotě buď vlastním vytápěním pomocí topního těleska 6, a nebo cirkuluje v uzavřeném okruhu ultratermostat - Höpplerův viskozimetr, za pomoci trubice 7. Teplota lázně je měřena teploměrem 5. Celý přístroj je otočně přichycen na stojan 8, který je stavitelný pomocí šroubů.

Z důvodu, aby bylo možno měřit na tomto přístroji viskozitu za současného působení el. pole, byla provedena úprava uzávěru. Do trubice 2 bylo nutno zavést elektrody tak, aby přes kovové součásti nenastal zkrat. Proto bylo víčko 3 zhotovenovo dle obr. 24 ze silonu. V jeho středu byl vyvrácen otvor, kterým procházela elektroda 4 /viz též na obr. 25/ z duralu, zakončená závitem M 5. Pomocí podložky a matice byl přichycen přívodní drát elektrického proudu. Celkový pohled je na obr. 30.

Poněvadž na jedné straně přístroje byla trubice 2 umístěna níže, bylo proto z důvodu těsnění, nutné zhotovit ještě ze silonu pomocnévíčko dle obr. 26.

Při úplném zaplnění trubice 2 měřenou kapalinou, což bylo dosaženo tím, že se nalil etylenglykol až po okraj trubice a posléze zašroubováním víčka, se plný objem trubice uzavřel a přebytečná kapalina byla před dotažením vytlačena a odešla netěsností v závitech, bylo dosaženo nepřerušeného toku elektrického proudu.

Princip měření je jednoduchý a spočívá v tom, že se měří doba, za kterou projde padající kulička l svým spodním okrajem ryskami, které jsou od sebe vzdáleny 100 mm. Z tohoto času vypočteme hodnotu dynamické viskozity dle vztahu

kde η je dynamická viskozita v poisech

T - čas, za který projde kulička dráhu mezi ryskami v sek.

Sk - specifická váha kuličky v g/cm^3

Sf - " " kapaliny při dané teplotě měření v g/cm^3 .

K - kuličková konstanta

7.2.4. Měření povrchové napětí stalagmometrem

Stalagmometr /obr. 27/ je v podstatě pipeta s měrnou nádobkou uprostřed. Měřící rysky jsou nad i pod nádobkou. Její výtoková část je kapilární a je zakončena rozšířeným vodorovným zabroušením, kolmým k ose výtoku.

Měření touto kapkovou metodou spočívá v tom, že měříme dobu, za kterou odkape objem kapaliny daný objem mezi měřicími ryskami.

7.2.5. Pozorování změn povrchového napětí při průchodu elektrického proudu sty lenglykolem

Jelikož měření povrchového napětí stalagmometrem nelze provádět za souč. působení elektrického pole, bylo proto sestaveno následující zařízení jehož schema je na obr. 28 a 31. Do malé kyvety 1 byly vloženy 2 elektrody 2 přesně proti sobě. Doprostřed byly postaveny 2 planparalelní sklička 3, mezi nimiž byly vloženy úzké plíšky z niklu, z důvodu dodržení vzdálenosti skláček, která byla zvolena 0,1 mm. Po zafixování všech součástí v této poloze bylo na dno kyvety nalito do výšky asi 1,5 cm dentacrylu 4.

Po zatvrduvání dentacrylu byla kyveta až po okraj zaplněna etylenglykolem / přibližně 30 cm^3 . Styrolglykol vystoupil mezi planparallelními sklíčky do určité výšky a pak následovalo pozorování nivelačním dalekohledem 5 /viz obr. 61 a 62 ze vzdálenosti asi 6 metrů/, zda a jak se bude měnit výška hladiny vlivem procházejícího el. proudu. Hladina mezi skly byla pozorována při zapnutí elektrického proudu a po průchodu po dobu 30 minut při napětí $U = 50 \text{ V}$, nebo $U = 100 \text{ V}$.

8. HODNOCENÍ

8.1. Zhodnocení výsledků a metodik

8.1.1. Měření viskozity na Englerově viskozimetr

Výsledky tohoto měření jsou zaznamenány v tabulce 1 na diagramu na obr. 34 a 35.

V diagramu na svislé ose je nanesena viskozita ve °E /obr. 33/ nebo v cSt /obr. 34/ a na ~~axiální~~^{vodorovné} ose jsou v obou případech teploty ve °C.

Měření bylo prováděno při teplotách 20°C, 35°C a při 50°C. Bylo dosti zdlouhavé, neboť udržování teploty na žádané hodnotě bylo obtížné a kolísalo v rozmezí $\pm 0,5^{\circ}\text{C}$ kolem každé hodnoty. Další, ale ne již tak velkou obtíží, bylo to, že u našeho viskozimetru nebyla normalisovaná odměrná baňka, ale běžná odměrka, v níž nebylo snadné dodržet podmíinku, aby kapalina při výtoku se nezpěnila, a tím také byla zhoršena přesnost odečítání. Z výsledků je patrné, že vzorek I má vysokou teplotu přibližně 43°C nejnižší viskozitu. Při vyšší teplotě má zlepšenou tekutost vzorek III a posléze i vzorky III' a I. Z toho bylo možno usuzovat na to, že elektrické pole zlepšuje tekutost etylenglykolu až při vyšší teplotě, pokud ovšem byl vzorek kavitován s elektrickou ochranou, zatímco vzorek III, kavitovaný bez elektrické ochrany, zlepšuje svou tekutost již při teplotách nižších. Jasně se však zdá být, že elektrické pole, ať působí samostatně, nebo společně s kavitovanou akcí, vždy při nižších teplotách zhoršuje tekutost. Nevýhodou tohoto způsobu měření je, že nelze s jistotou prohlásit některý z těchto vlivů za dominantní, neboť působily společně a nebylo možné je tímto způsobem měření oddělit.

Vliv doby, která uplynula od kavitování se zdá být

asi tento: u vzorku III byla viskozita při nižších teplotách vyšší než u vzorku II. U vzorku III je viskozita za všech teplot nižší než u vzorku II; což, což je dle očekávání, neboť se pravděpodobně stylenklykol snaží získat své původní vlastnosti.

Na tomto přístroji nebylo možno měřit viskozitu za současného působení elektrického pole, neboť by při průchodu elektrického proudu docházelo k nařušení vnitřních stěn přístroje elektrochemickými vlivy.

8.1.2. Měření na Höpplerové viskozimetru

Höpplerův viskozimet byl zapůjčen z chemických laboratoří n.p. Textilana v Liberci.

Výsledky těchto měření jsou zaznamenány v tabulce 2 a na obrázku 35 až 38. Na obr. 35 až 46 jsou na svislých osách vyneseny hodnoty viskozity ve $^{\circ}\text{E}$, přičemž na obr. 35 - 40 jde o hodnoty, získané při teplotě 20°C a na obr. 41 - 46 jde o hodnoty při teplotě 50°C . Na obr. 47 - 52 jsou ^{na} svislé osy vyneseny hodnoty ΔE , což je rozdíl $E_{20} - E_{50} = \Delta \text{E}$, kde E_{20} je viskozita při 20°C /ve $^{\circ}\text{E}$ / E_{50} je viskozita ve stupních E měřená při teplotě 50°C .

Na všech diagramech jsou vzorky s indexem \underline{a} /tj. bez současného působení elektrického pole/ provedeny plnou čarou a vzorky s indexem \underline{b} provedeny čerchovaně.

Na obr. 35 jsou vzorky Aa, Ab, Bla, Blb, Cla a Clb měřeny při 20°C . Z průběhu je zřejmá, že kavitace zvýšila viskozitu etylenglykolu, ale po 24 hodinách byla viskozita ještě menší než vzorku Aa. Čára \underline{a} má na všech dalších diagramech, tj. na obr. 35-40 podobný charakter. Jedinou výjimku tvoří vzorky B3a a C3a. Zde totiž nebyla dodržena doba měření. Měření bylo provedeno asi 3-4 hodiny po kavitaci, místo ihned po ní. Stalo se to tím, že vzorky Bl, B2, B3 byly kavitovány posobě /po 20 min./ a měření viskozity bylo možno provádět až po této práci. Tím bylo způsobeno toto zpoždění.

O průběhu čar označených a na obr. 35 - 40, je tedy možno říci toto: V kapalině působí velmi vysoké tlaky a teploty spolu s dalšími účinky kavitace. Do kapaliny přechází malé částice kovu ze vzorku. Tyto částice mohou zvýšit vnitřní tření kapaliny, jejich proudových vrstev. Musí tu však působit ještě něco, co způsobuje, že s časem se viskozita opět dostává na svou původní hodnotu nebo hodnotu ještě nižší. Snad by to mohlo být rozbitím nebo narušením molekul, nebo i určité změny v atomech.

Na obr. 47 - 52 jsou vidět průběhy η u zkoušených vzorků. Je z nich vidět, s výjimkou vzorku B₃, že opět kavitaci se zvyšuje tento rozdíl, avšak po 24 hodinách kapalina nabývala přibližně původních hodnot. Vliv elektrického pole zase u všech vzorků snižuje hodnoty η a E oproti čistému etylenglykolu podrobenému elektrickému poli.

V těchto měřeních však byly zase určité nepřesnosti, které nám mohou tyto výsledky zkreslovat. Je to udržování teploty na potřebné teplotě. Toto bylo u Höpplerova viskozimetru způsobeno tím, že jsem neměl k dispozici ultratermostat, ale ohřev byl prováděn vlastním topným těleskem, které je umístěno svisle. Teplá lázeň stoupala k horejší části přístroje, čímž byl způsoben nepravidelný ohřev. Druhá nepřesnost by mohla být v tom, že nebyl sledován směr průchodu proudu tzn., že nemohu zaručit zda elektrický proud procházel ve směru pádu kuličky, či proti němu.

Na obr. 53 - 58 je vidět strmost viskozních křivek. Jelikož byla u všech těchto vzorků měřena viskozita při dvou teplotách, nejsou na těchto obrázcích křivky skutečného průběhu viskozity s teplotou.

8.1.3. Měření povrchového napětí

Toto bylo prováděno na stalagmometru a sice bez vlivu elektrického pole. Byl sledován čas, za který vykape stanovený objem. Tento čas považujeme za měřítko povrchového napětí. Výsledky jsou v následující tabulce:

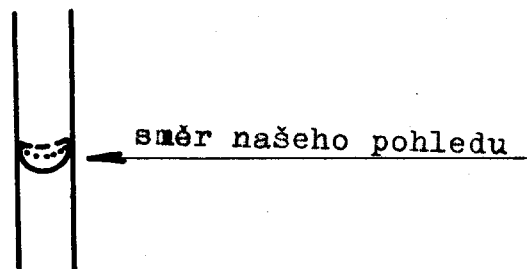
č. vzorku	t /min/
I	13'13,6''
II	11' 05,5''
III	11'14,9''

Jelikož však toto měření nebylo povážováno za důležité, nebyla mu věnována dostatečná péče tzn., že nebyla sledována přesně teplota kapaliny ani tlak, při kterém měření probíhalo, tedy byly opomíjuty faktory, které nejvíce ovlivňují povrchové napětí. Proto nelze z tohoto měření činit závěry.

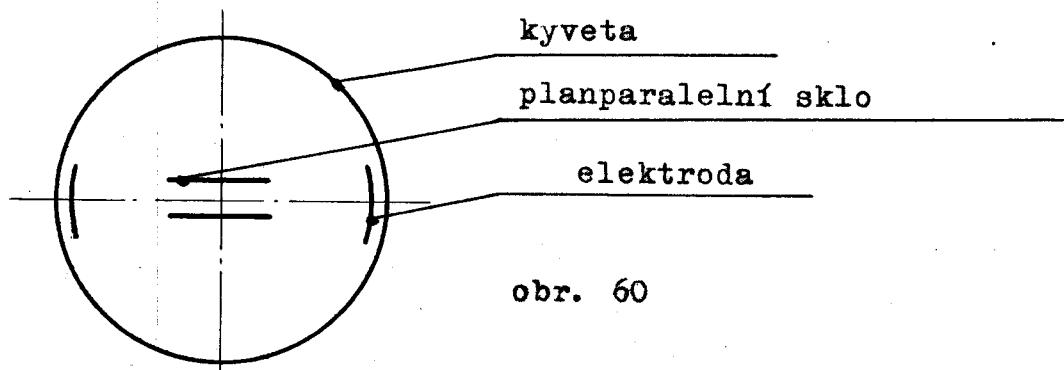
U vzorků označených čárkou //, nelze hovořit o měření, ale pouze o pozorování. Byla totiž pozorována hladina mezi dvěma planparallelními sklíčky, které byly od sebe vzdáleny tak, aby mezi nimi došlo k vzlínání. Očekávalo se, že kapalina, při zavedení elektrického proudu do ní, se pohně, vystoupí výše nebo klesne. Výsledky jsou následující:

I'50	žádná změna
II'50	" "
III'50	" "
I'100	" "
II'100	" "
III'100	" "

Výsledky tedy nepotvrdily hypotézu, že elektrické pole ovlivňuje povrchové napětí. Zůstává však otázka, zda zvolená metoda byla správná. Hladina kapaliny byla pozorována ze předu, a nikoliv z boku. Tzn., že není jisté, jestli se měnil tvar povrchu hladiny /viz obr. 59/.



Dále je možné, že výsledky by byly jiné v případě, že by elektrody byly pootočeny o 90° , podle obr. 60.



Stejných výsledků bylo dosaženo při kontrolním pozorování s vodou.

9. ZÁVĚR

Závěrem lze říci, že tato práce, jejíž cíl byl naznačen v úvodu, nevyřešila stanovenou problematiku, ale pokusil jsem se, alespoň z části, přispět k řešení některých problémů. Domnívám se, že po důkladném zhodnocení by bylo možno přijmout, nebo zavrhnut některé metody, použité v této práci, což samo o sobě už znamená určitý, i když malý, přínos.

V této práci jsem neprováděl měření vlivu elektrického pole na kavitační luminiscenci, neboť toto měření fotografickou cestou, nedává možnost dobrých výsledků a kromě toho k tomuto měření nebylo k dispozici ani potřebné zařízení.

LITERATURA

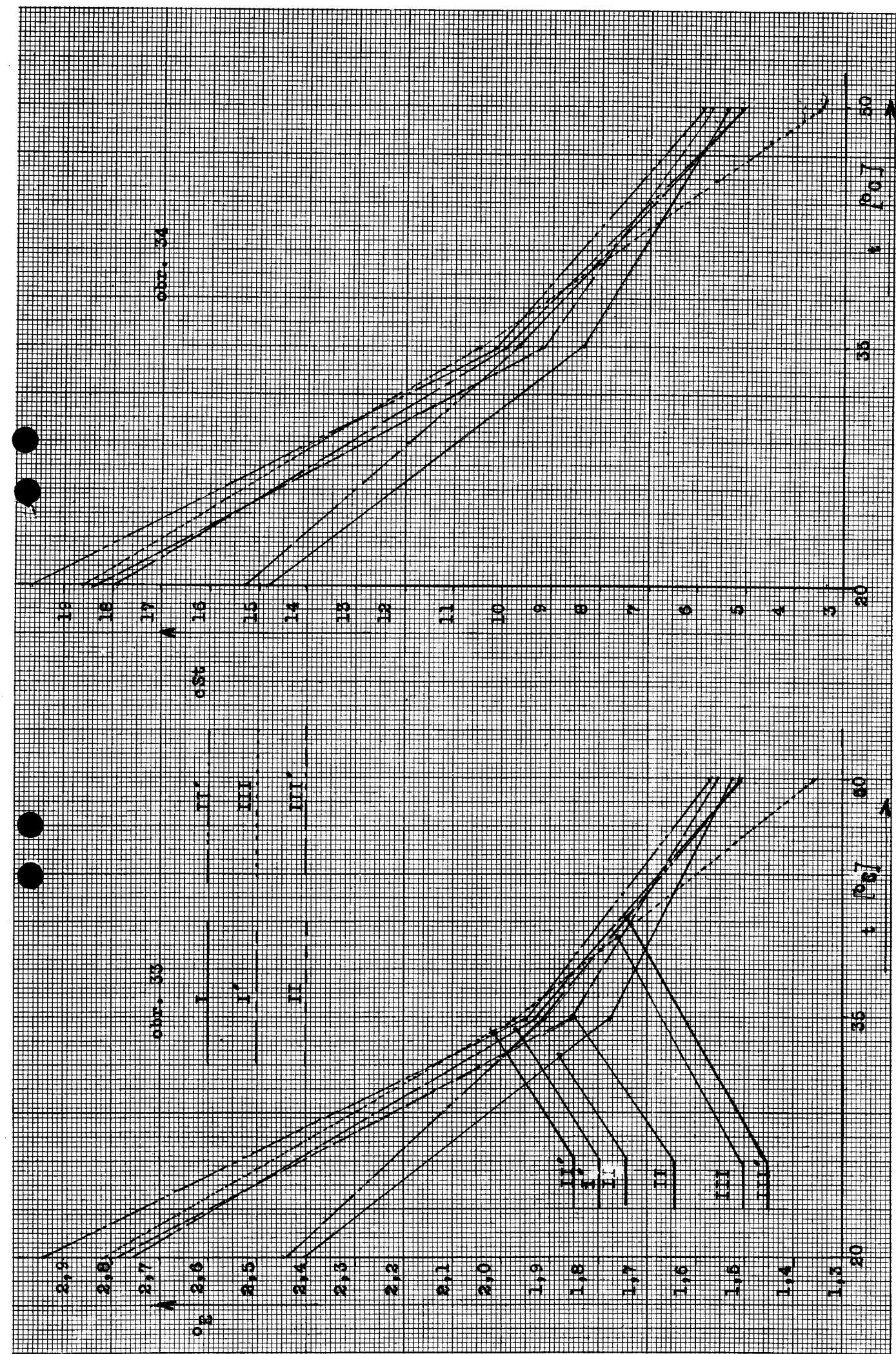
- 1 Mašťovský, O.: Hydromechanika. SNTL/SVTL, Praha, 1964.
2. vyd.
- 2 Krouza, V.: Čerpadla odstředivá a jím příbuzná. NČSAV,
Praha, 1956. 1. vyd.
- 3 Bogačev - Minc: Kavitační rozrušování železouhlíkových
slitin. Odd. TMI, n.p. Sigma Lutin,
1965.
- 4 Fetter, F.: Obecná elektrotechnika pro stroj. ing.
SNTL/SVTL, Praha, 1967.
- 5 Koutný, A.: Výzkum odolnosti mat. proti kavitaci.
Diplom. práce DP - ST 131/63. Liberec, VŠST,
1963.
- 6 Němeček, S.: Určování kov. odolnosti materiálu. I. díl.
Disertační práce.
- 7 " : Rol elektrochimičeskoj korozii v kavita-
cionnoj erozii. Elektronnaja obrabotka
materialov 1967, č.2, str. 13 - 24.
- 8 " : Vodní stroje lopatkové. Učební text VŠST,
SNTL, P., 1959.
- 9 " : Vliv kavítace na vlastnosti vybraných
olejů. /Výzkumná zpráva pro n.p. ČKD
Blansko a n.p. Autobrždy Jablonec n. N./
1968.
- 10 " : K otázce mechaniky kavítace. I. sborník
prací VŠS v Liberci. SNTL, P., 1959.
- 11 Noskiewič : Kavítace. Academia, P., 1969.
- 12 Holub, L.: Výzkum vlivu kavítace na elektrickou vodivost
kapalin. Diplom. práce. VŠST Liberec, 1966.
- 13 Vysloužil, Z.: Meranie ve strojárstve. SNTL, Bratislava,
1962.

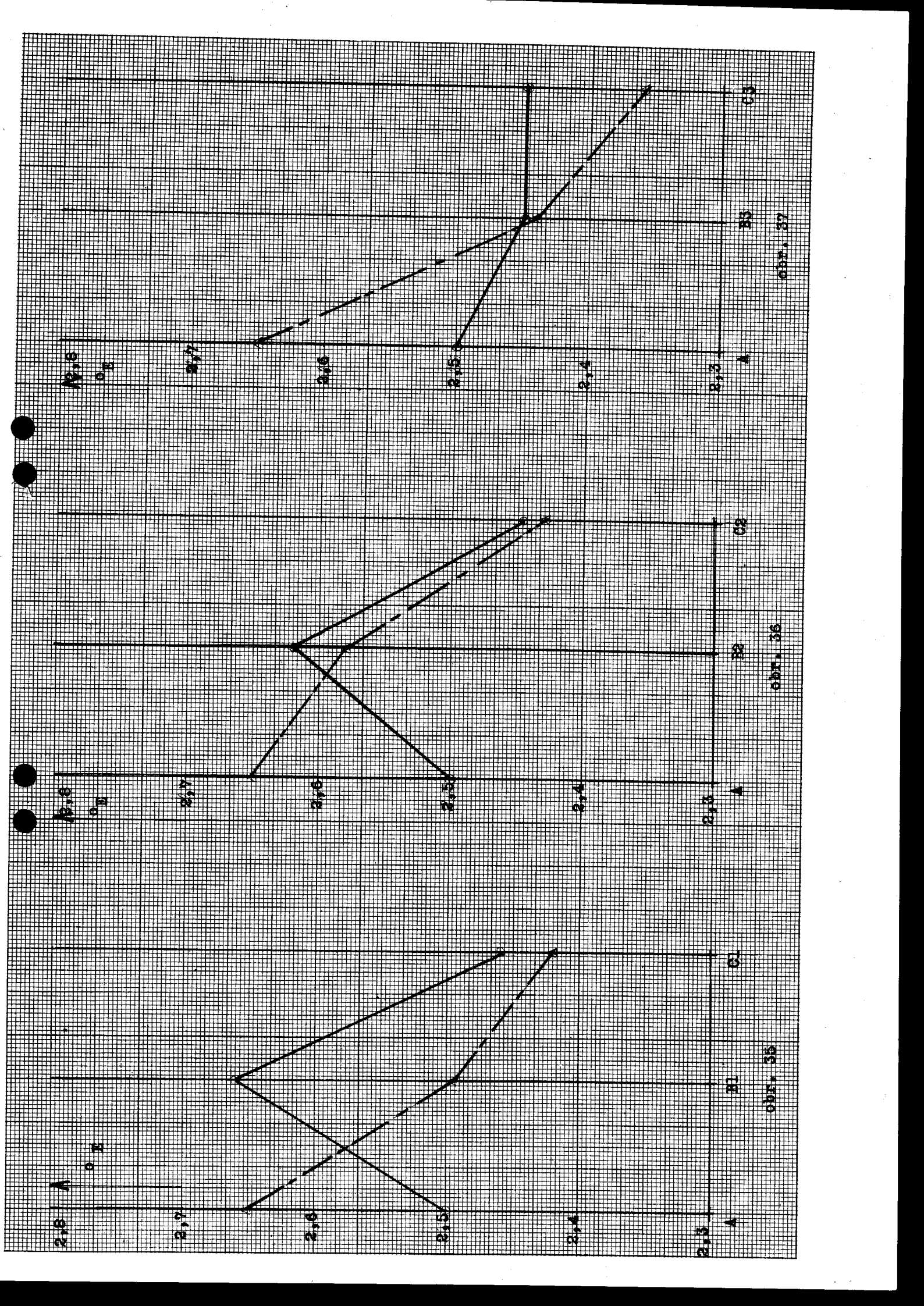
- 14 Teyssier - Kotyška: Technický slovník naučný.
Ilustrovaná encyklopédie věd tech.
Díl XIV. Borský a Šulc, P., 1938
- 15 Sielberrad, D.: Engineering, č. 28, 1912.
- 16 Ramsay, W.: " , č. 24, 1912.
- 17 Nowotny, H.: Werkstoffzerstörung durch Kavitation.
VDI - Verlag, Berlin, 1942.
- 18 Glikman, L.A.: Korrozijs - mehaničeskaja pročnost
metallov. mašgiz, Moskva 1955, str.
94 - 171.
- 19 Leith, W.C. + Thompson, A.L.: Some Corrosion Effects
in Accelerated Cavitation Damage. TASME,
ser. D, r. 82, 1960, č. 4, str. 795 - 807.
- 20 Technický naučný slovník. SNTL, P., 1964.
- 21 Archangelskij, Segéjeva: The role of Ultrasonic Cavita-
tion in Reducing the Viscosity of
Hydraulic Liquids. Sowjet Physics -
- Acoustics, 10, 1, 86 - 87, July - Sept.
1964.

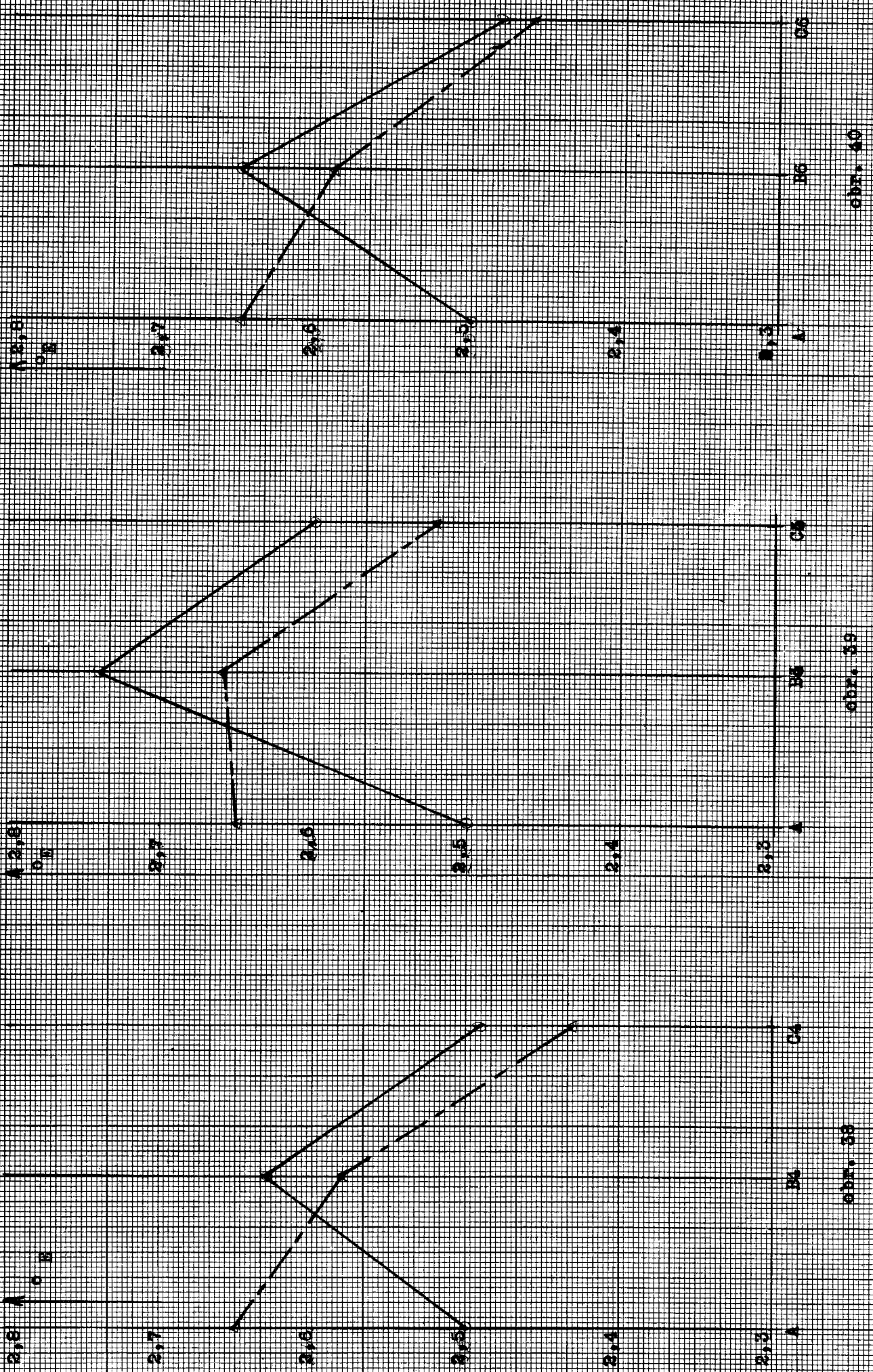
č. vz.	t °C					
	20			50		
	/sek/	cSt	°E	/sek/	cSt	°E
A	a	180,9	16,61	2,50	62,3	5,89
	b	196,0	18,01	2,65	64,53	6,09
B ₁	a	196,2	18,05	2,66	74,1	7,00
	b	180,1	16,56	2,495	66,7	6,30
B ₂	a	192,5	17,69	2,62	69,5	6,56
	b	188,5	17,33	2,58	70,3	6,63
B ₃	a	175,4	16,15	2,45	69,9	6,60
	b	174,4	16,06	2,44	73,5	6,94
B ₄	a	193,6	17,79	2,63	62,0	5,84
	b	188,8	17,36	2,58	64,4	6,07
B ₅	a	204,5	18,79	2,74	64,6	6,10
	b	196,4	18,06	2,66	65,6	6,18
B ₆	a	195,3	17,96	2,65	60,7	5,72
	b	189,6	17,43	2,59	64,1	6,05
C ₁	a	177,0	16,26	2,46	58,1	5,48
	b	173,0	15,90	2,42	60,0	5,66
C ₂	a	175,2	16,11	2,445	58,7	5,53
	b	172,6	15,96	2,43	59,3	5,61
C ₃	a	174,9	16,16	2,45	54,9	5,19
	b	166,7	15,33	2,36	56,7	5,35
C ₄	a	179,4	16,51	2,49	60,2	5,68
	b	174,0	15,99	2,43	63,0	5,94
C ₅	a	190,9	17,52	2,60	53,9	5,09
	b	182,9	16,79	2,52	55,6	5,24
C ₆	a	178,8	16,42	2,48	58,4	5,51
	b	176,3	16,23	2,46	60,4	5,70

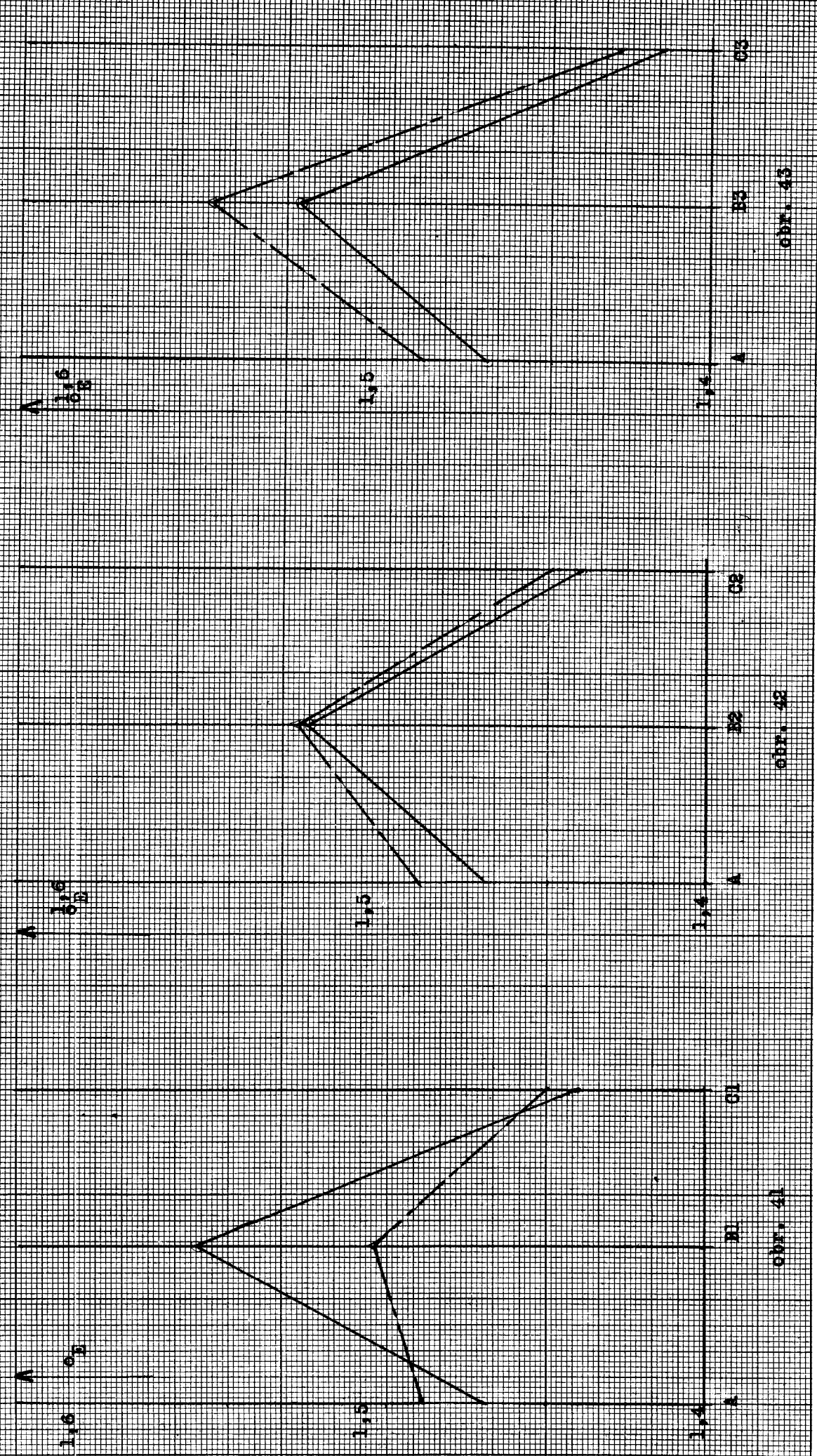
Č. vz.		/sek/	$^{\circ}\text{E}$	E str	Č. vz.		/sek/	$^{\circ}\text{E}$	E str
A	a	117,7	1,03	1,985	C ₁	a	118,9	1,02	1,95
	b	131,47	1,16	2,07		b	113,0	0,97	1,935
B ₁	a	122,1	1,10	2,11	C ₂	a	116,5	1,005	1,9425
	b	113,4	0,992	1,999		b	113,3	0,982	1,939
B ₂	a	123,0	1,094	2,073	C ₃	a	120,0	1,035	1,9325
	b	118,2	1,05	2,055		b	110,0	0,932	1,894
B ₃	a	105,5	0,921	1,989	C ₄	a	119,2	1,035	1,9725
	b	100,9	0,883	1,998		b	111,0	0,955	1,9525
B ₄	a	131,6	1,163	2,048	C ₅	a	137,0	1,193	2,003
	b	124,4	1,095	2,0325		b	127,3	1,100	1,970
B ₅	a	104,5	18,79	2,74	C ₆	a	120,4	1,040	1,96
	b	130,8	1,166	2,077		b	115,9	1,004	1,958
B ₆	a	134,6	1,193	2,0535					
	b	125,5	1,106	2,037					

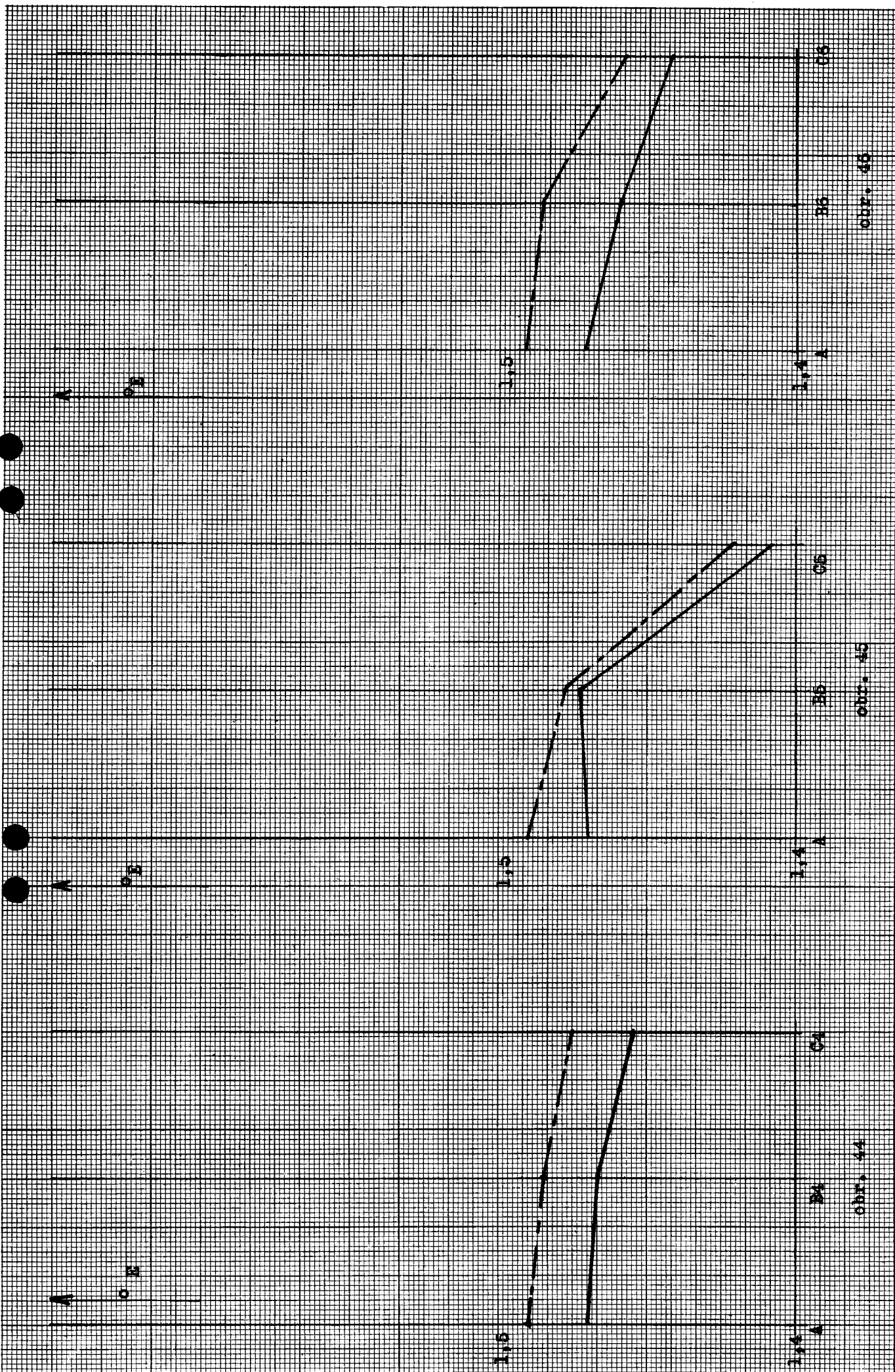
t $^{\circ}\text{C}$			$^{\circ}\text{E}/\text{cSt}/$				III'
	I	I'	II	II'	III		
20	2,3 /14,8/	2,64 /17,9/	2,71 /18,5/	2,84 /19,7/	2,72 /18,58/	2,35 /15,25/	
35	1,68 /8,29/	1,825 /9,88/	1,755 /9,1/	1,84 /10,04/	1,87 /10,37/	1,81 /9,61/	
50	1,43 /5,375/	1,41 /5,125/	1,455 /5,69/	1,47 /5,875/	1,26 /3,46/	1,41 /5,125/	







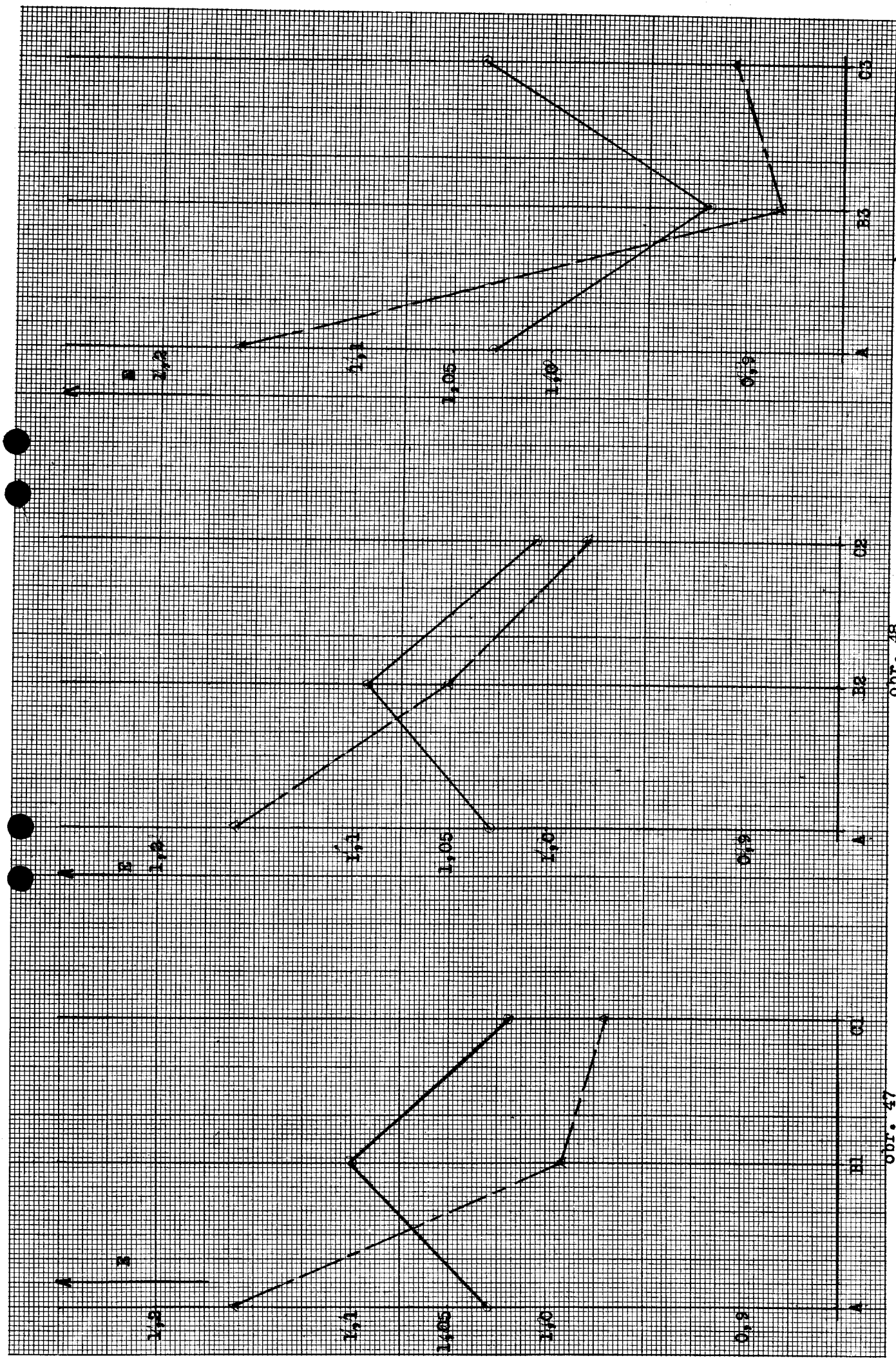


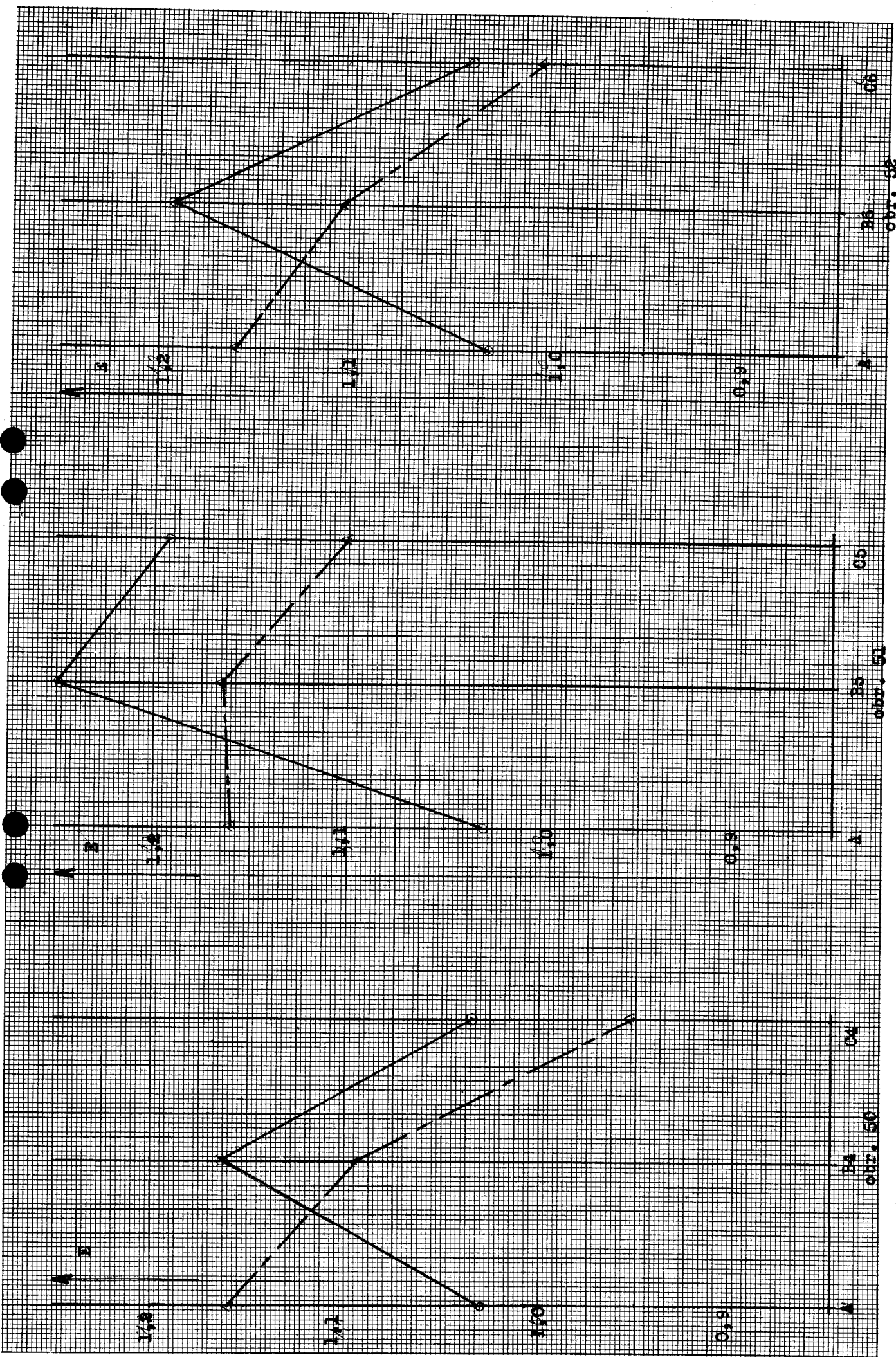


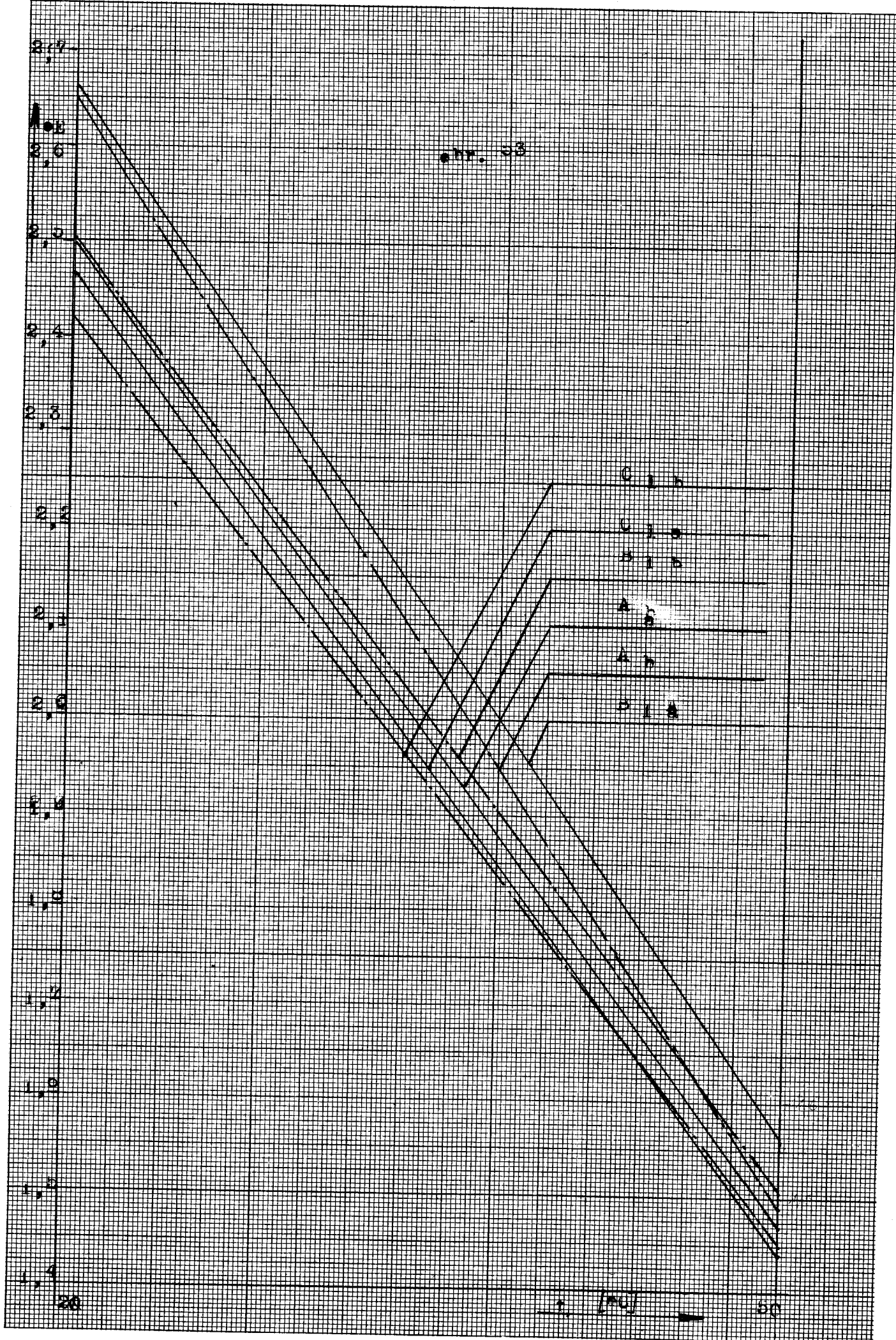
Obr. 49

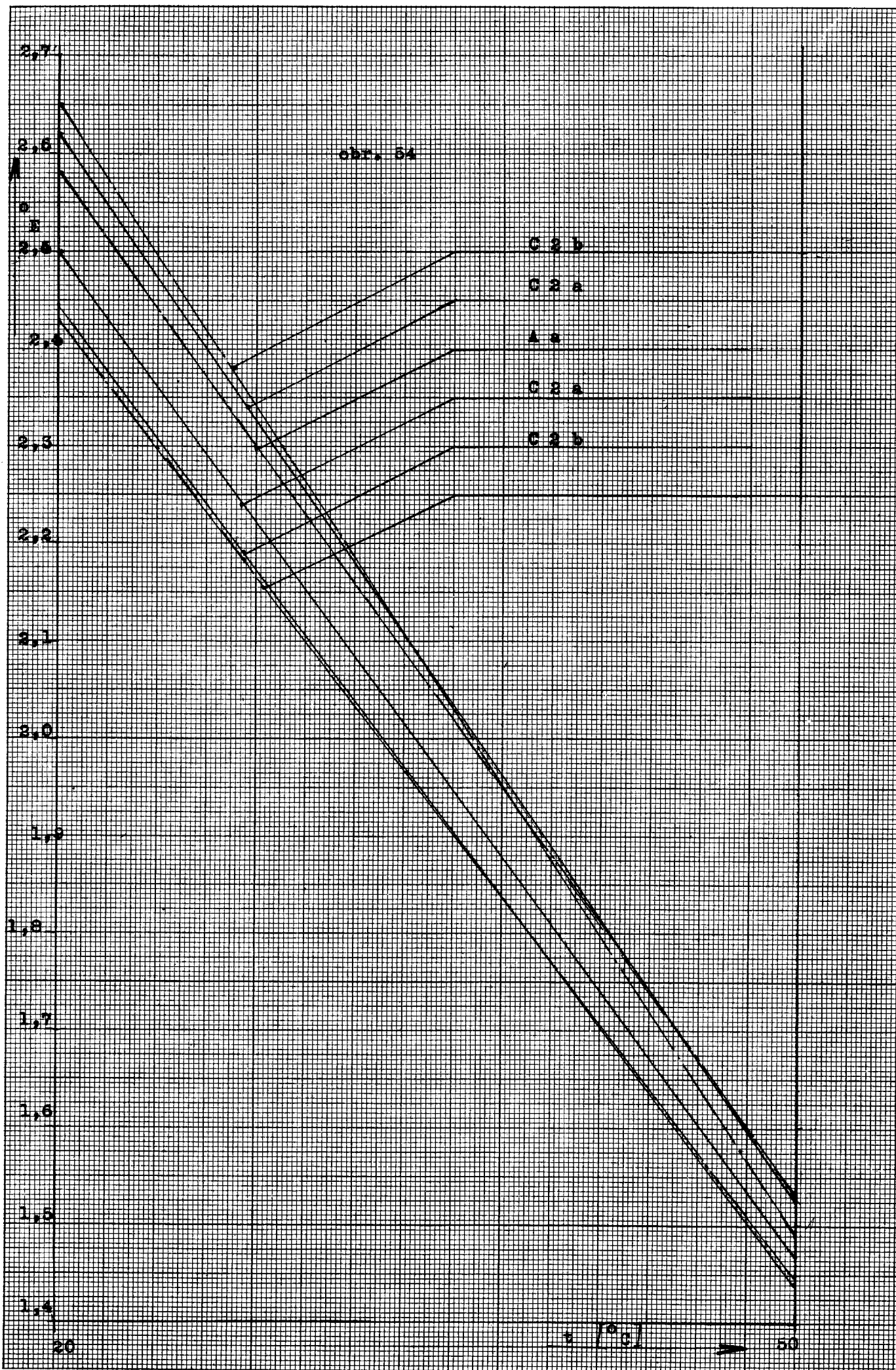
Obr. 48

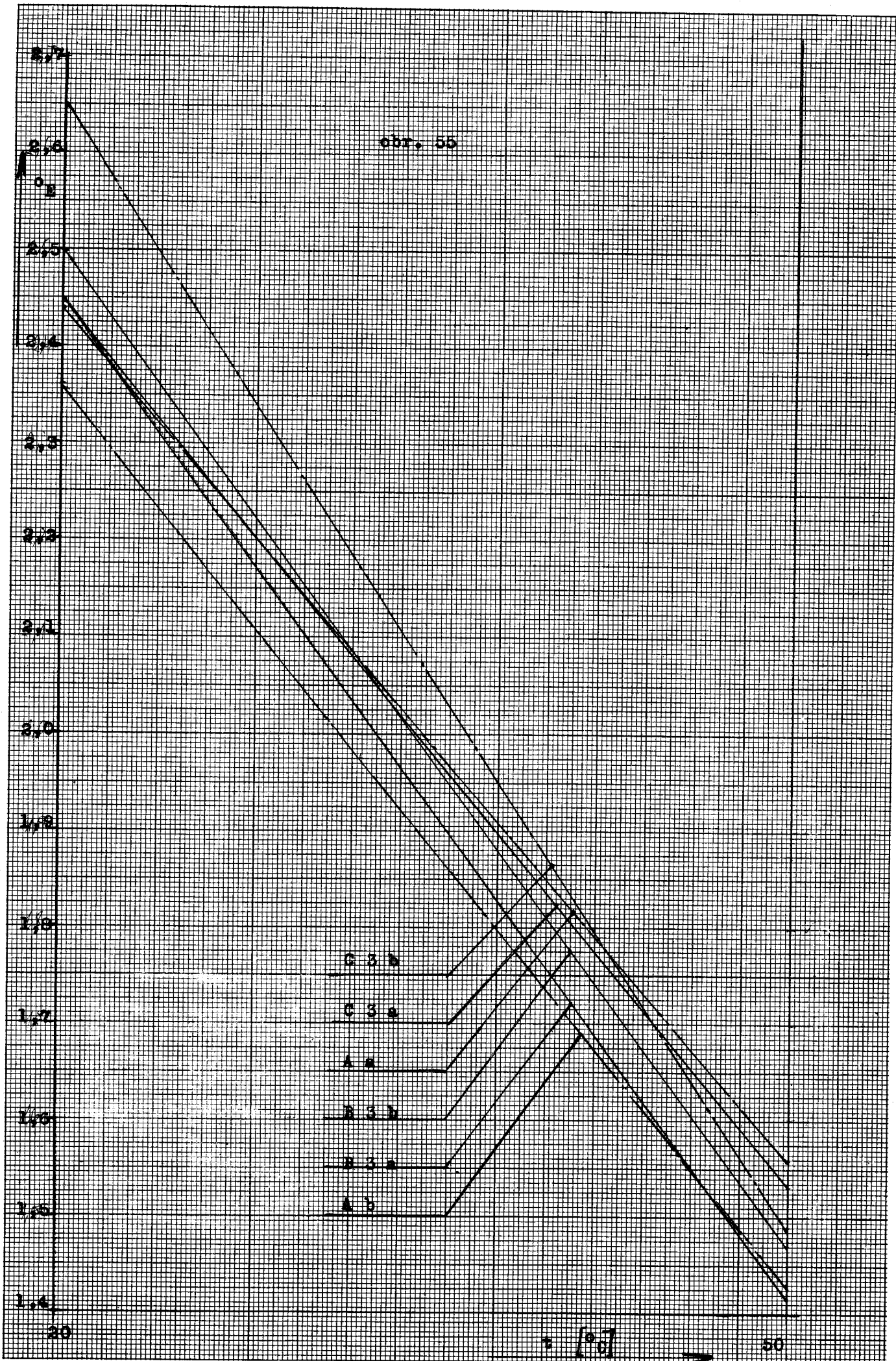
Obr. 47

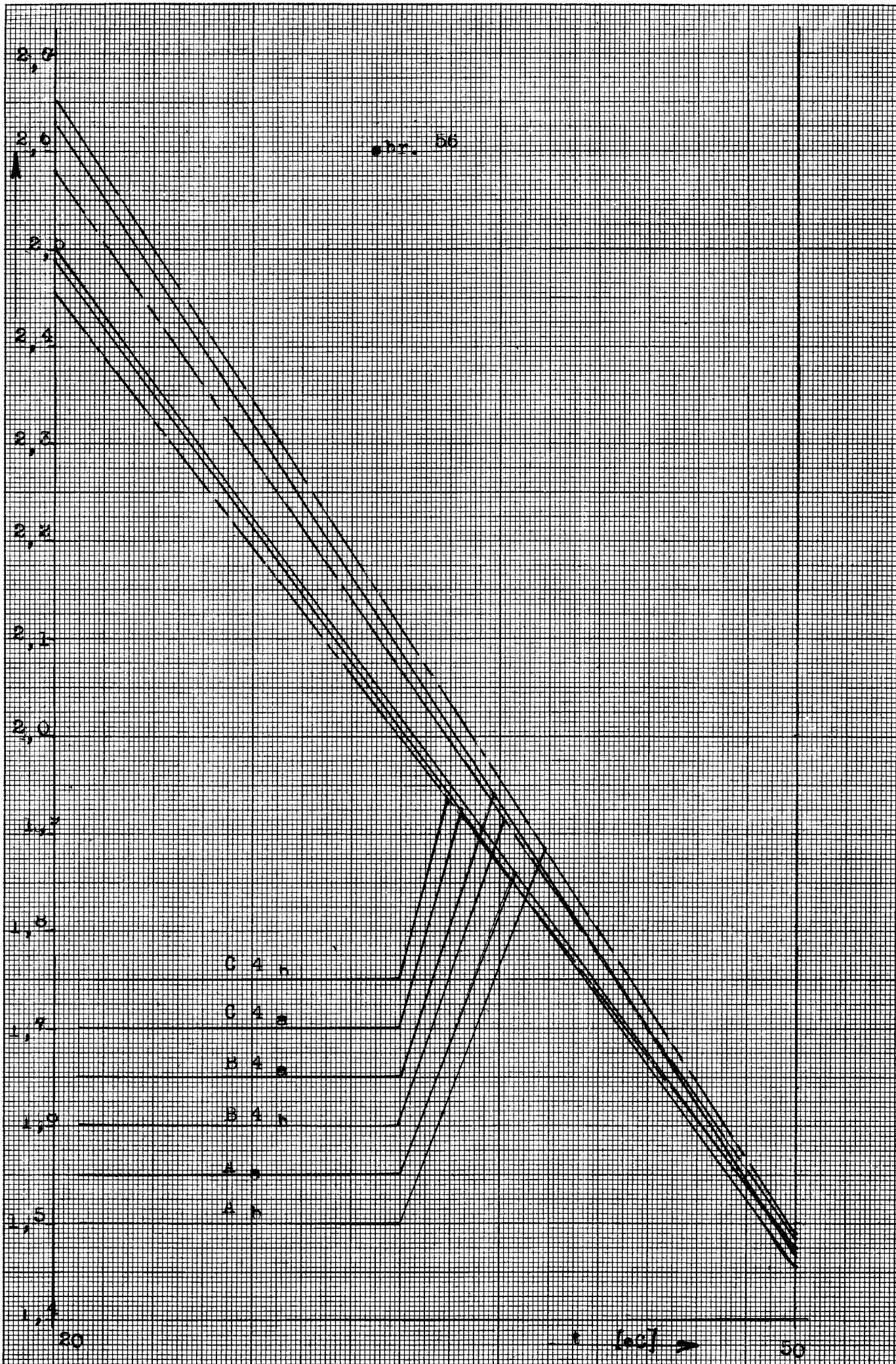


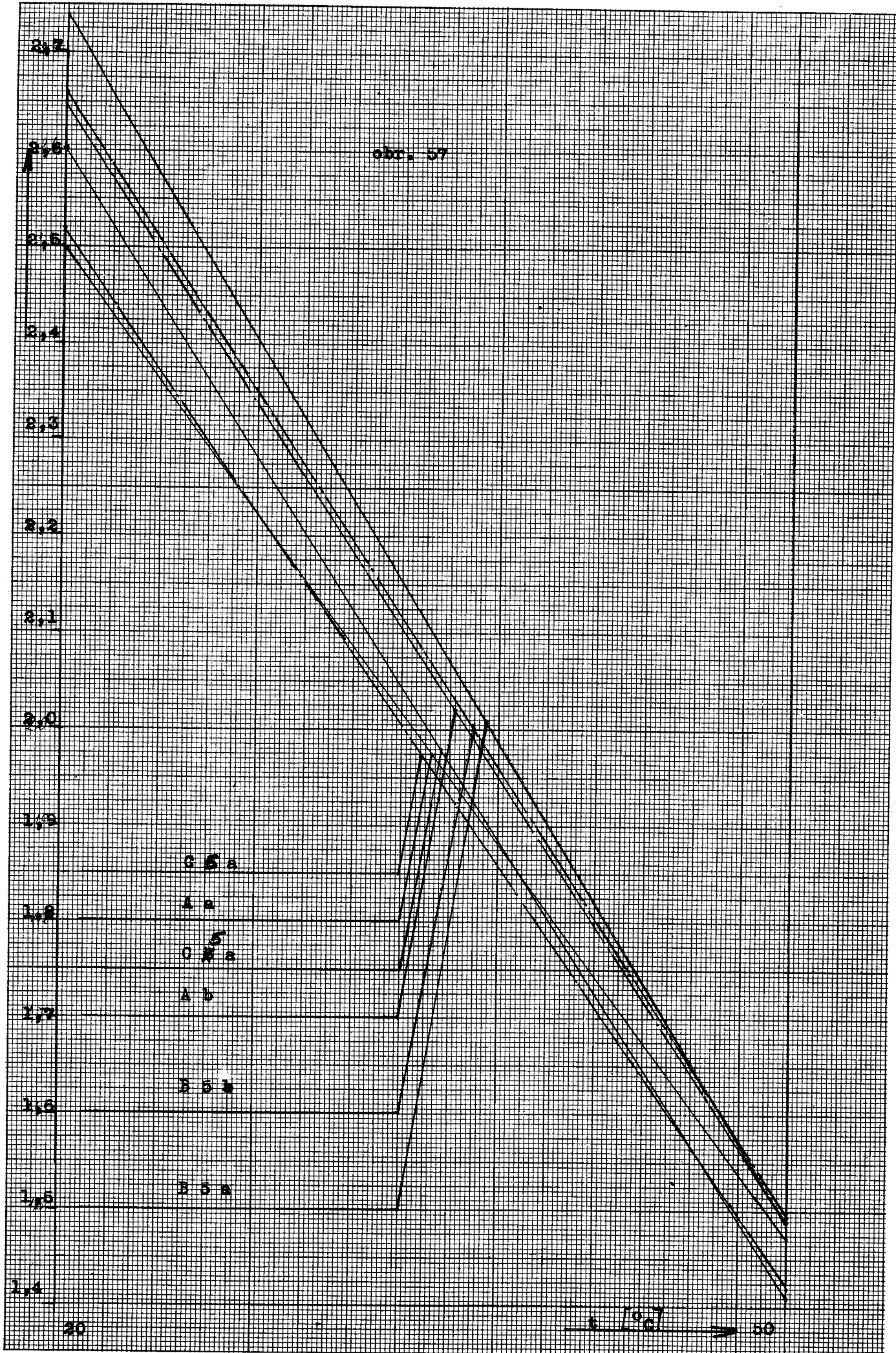


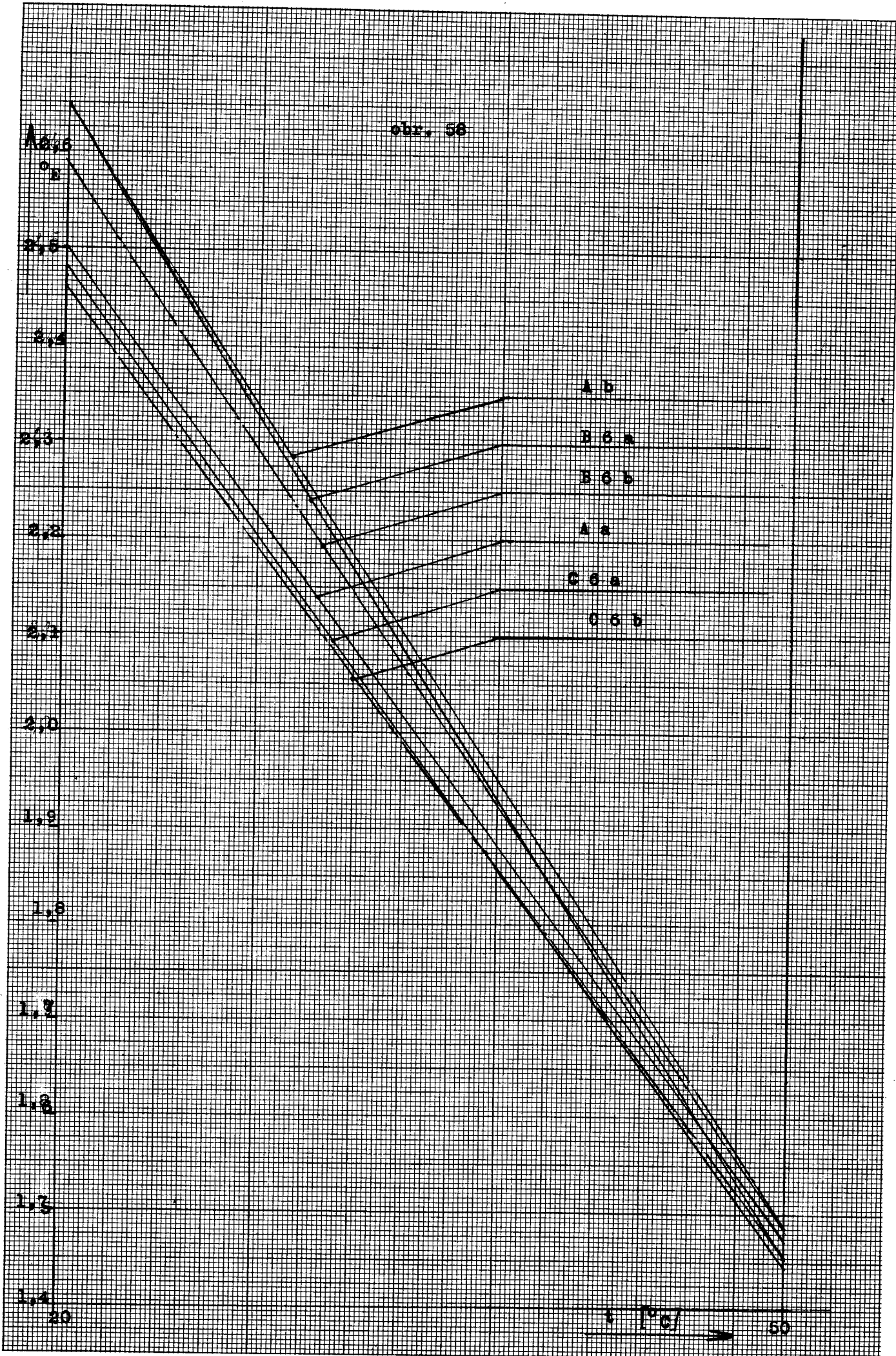


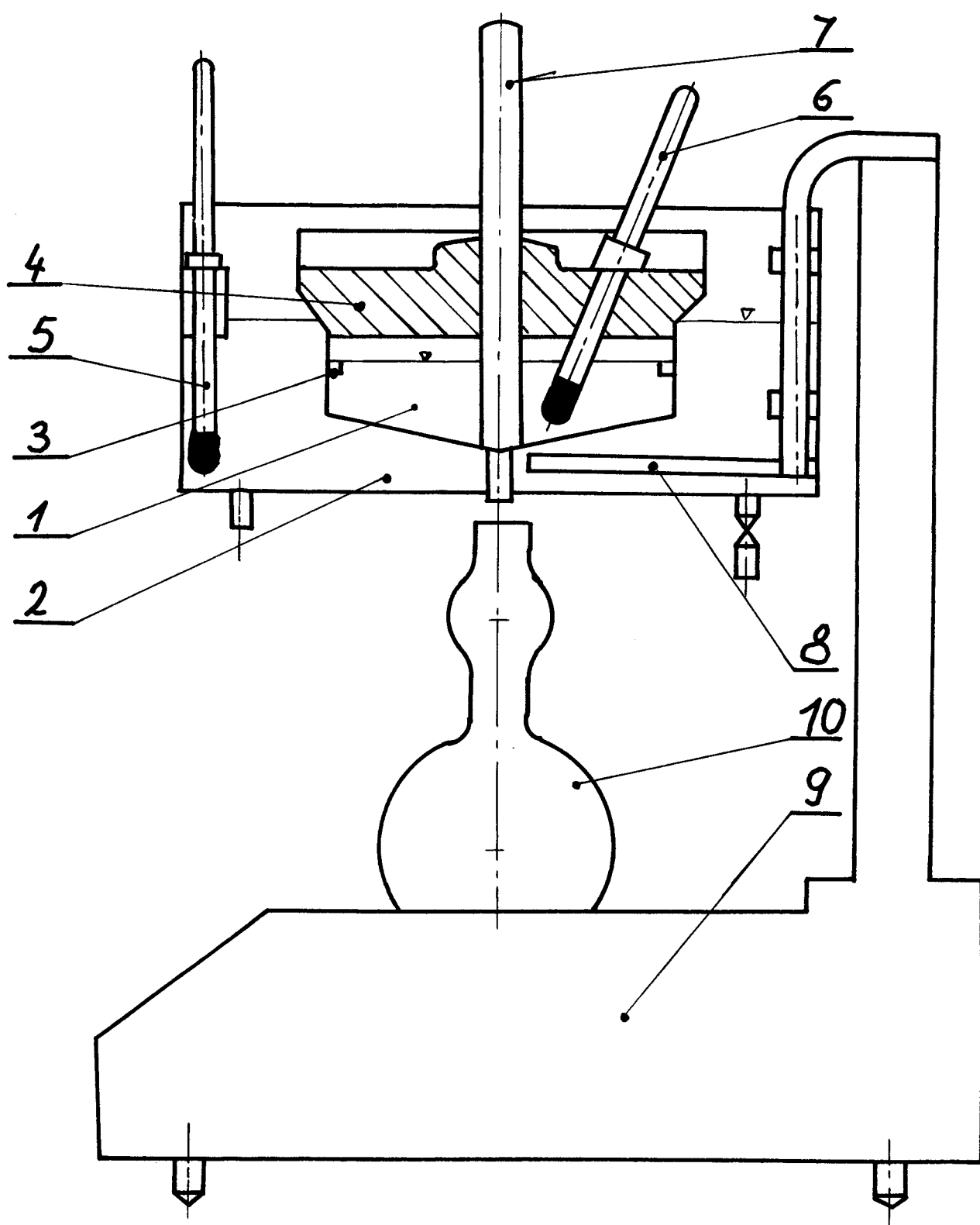




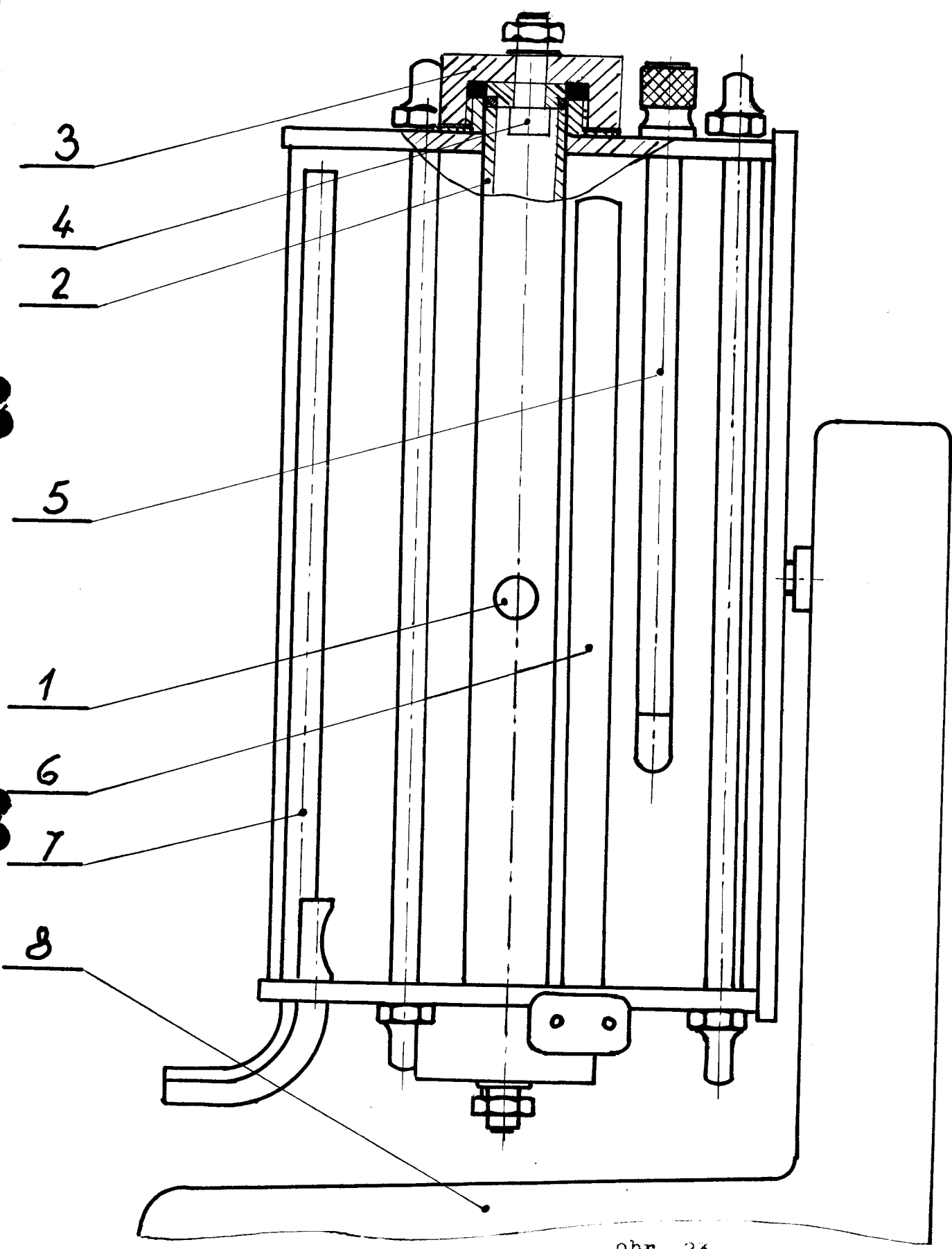




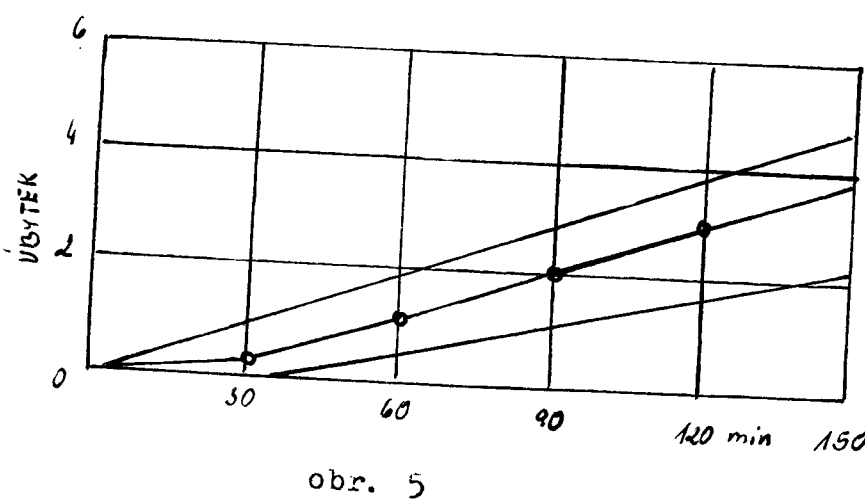




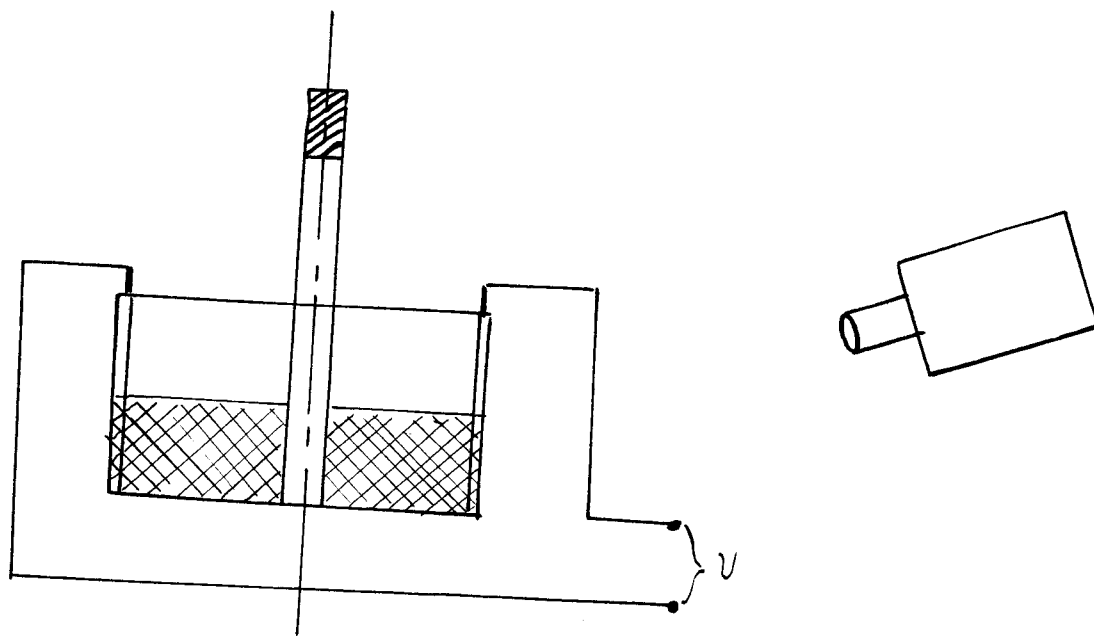
obr. 20



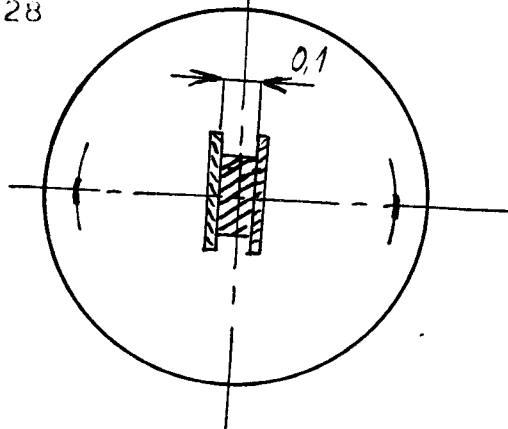
obr. 23

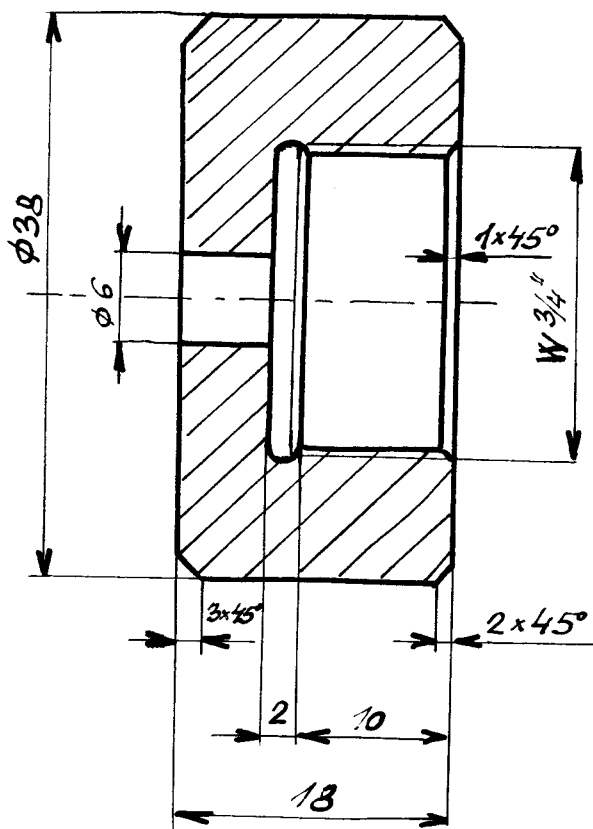


obr. 5

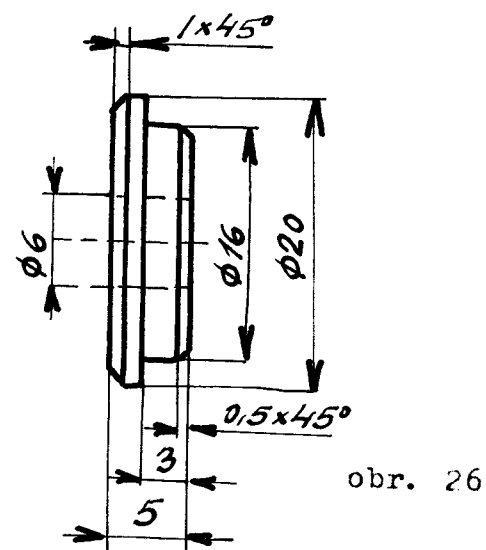


obr. 28

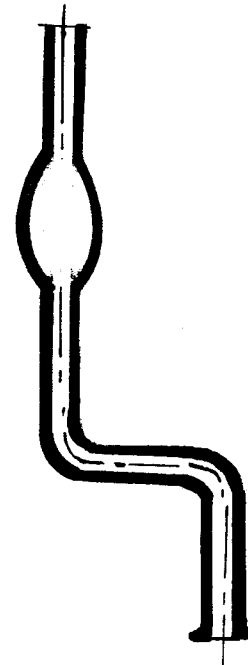




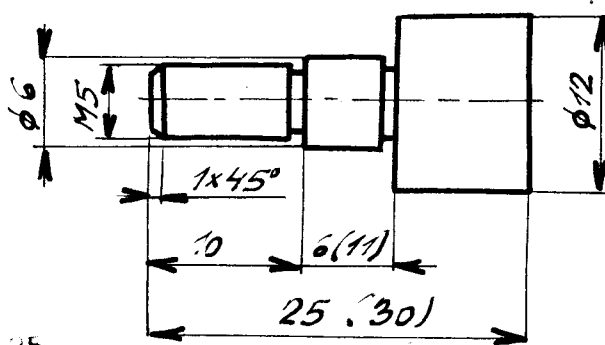
obr. 24



obr. 26



obr. 27



obr. 25